# Statyuahr N3BECTИЯ

АКАДЕМИИ НАУК АРМЯНСКОЙ ССР

Sthubyuuuu арыльфальшьгр исгри СЕРИЯ ТЕХНИЧЕСКИХ НАУК

theyur

ÉPEBAH

# издается с 1947 г. Журнал выходит 6 раз в год на русском языке

#### 

Կասյան Մ. Վ. բժբագիթ), Աղոնց Հ. Տ. բժբագրի Ալերսենսկի Վ. Վ. Անանյան Ա. Կ., Զաղոյան Մ. Ա., Հակոբյան Ռ. Ե., Սարգսյան Յու. Լ., Ստակյան Մ. Գ., Տեր-Ազարե Ի. Ա., Փինաջյան Վ. Վ. բժբագրի տեղակալ)։ Պատարածատու

#### РЕДАКПИОННАЯ КОЛЛЕГИЯ

Касьян М. В. (отиет, редактор), Адонц Г. Т. (зам. ответ, редактора), Алексесьский В. В., Аниняк А. К., Акопян Р. Е., Задоян М. А., Пинаджин В. В. (зам. ответ, редактора), Саркисин Ю. Л., Стакин М. Г., Тер-Азарьев И. А. Ответственный секретарь Степанян З. К.

<sup>©</sup> Издательство АН АрмССР.
Известия АН АрмССР (серия техн. наук), 1981.

Տեխնիկական գիտութ, թեբիա

XXIV. № 1, 1981

Серия технических наук

МАШИНОСТРОЕНИЕ

#### P. C. AMBAPRH

# РАСШИРЕННАЯ КЛАССИФИКАЦИЯ СИСТЕМЫ ЗУБЧАТЫХ ЗАЦЕНЛЕНИЯ

Классификации зубчатых зацеплений посвящено множество работ, из которых наиболее полными являются труды Гавриленко, Пенькова, Ерихова [1] и др. В указанных работах, нелью которых является правильный выбор зубчатого зацепления с конкретными эксплуатационными свойствами, для классификации выбраны признаки, характеризующие назначение передачи, процесс образования рабочих поверхностеп зубьев, форму их контакта, расположение и т. д.

Все эти признаки рассматриваются для передач с обычными жесткими зубьями, которые в работе и состоянии покоя, при равномерных и линамических режимах практически не меняют первоначальную геометрию рабочего профиля зубьев. Однако, существуют такие передачи, которые при динамических условиях работы позволяют геометрические пименения контактирующих поверхностей, качественные изменения формы контакта зубьев и положения расчетной точки относительно осей вращения зубчатых колес.

Имеющиеся классификации передач не отражают указанные явления и особенности работы зуба. В них не учтен фактор существования жесткого или обычного, полужесткого и упругого, цельного или сборного, обработанного предварительно или образованного непосредственно в процессе зацепления зуба.

С целью обоснования новой классификации системы зубчатых зацеплений рассмотрим некоторые зубчатые передачи, которые имеют те или иные особсиности и переменный характер работы.

Экспериментально доказано, что характер работы жесткого зуба можно изменить применением упругого зубчатого венца из пруживной стали, который смещая опасное сечение зуба на некоторый угол, увеличивает несущую способность описанного зуба, примерно, в 1,05—1,2 рала [2].

Сравнивая работу указанного полужесткого зуба с жестким, замечаем, что упругий венец меняет размеры контактирующих поверхностей; в изгруженном состоянии, когда основание ведущего зуба 2 соприкаспется с головкой зуба 2' ведомого, упругий элемент перераспределяет нагрузку с головки на всю поверхность жесткого зуба. Если рассмотреть работу зубьев 2' и 1 (рис. 1), то для полюса зацепления Р нагрузка при помощи упругой ленты распределяется, начиная с этой точки до основания жесткого зуба. В данном случае распределение нагрузки по поверхности жесткой части зуба имеет переменный характер и зависят от многих факторов, в частности, от способа закрепления упругого элемента во впадинах зубьев.

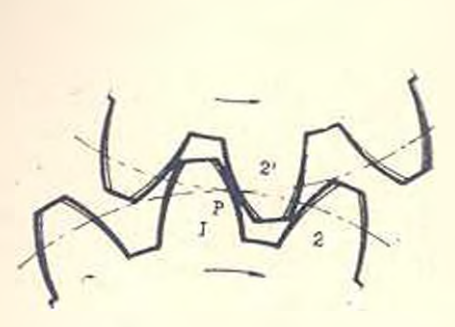


Рис. 1. Зацепление зубьев с упру-

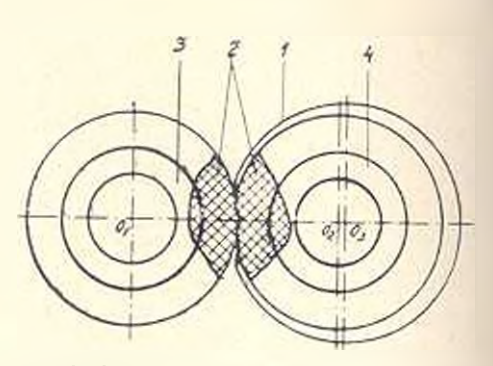


Рис. 2. Запепление с мгновенно генерируемыми зубъями.

Описанная конструкция не исчерпывает все разновидности перелач с переменной характеристикой. Например, нами ислытаны передачи, где на колесах зубья заранее не обрабатываются, а мгновенно тенерируются в зоне зацепления зубогенератором 1 за счет местных деформаций на упругих телах 2, закрепленных на металлических ступицах 3 и 1 (рис. 2). Для упругих тел хорошим материалом служит полиуретан, обладающий достаточной долговечностью и способностью к местным деформациям. К вышеописанному зацеплению можно отнести и такие, у которых обычное зубчатое колесо мгновенно сенерирует зубья на гладкой упругой поверхности парного колеса. В обоих случаях генерированные зубья, проходя зону зацепления и выполняя полезную работу, исчезают с прекращением воздействия в первом случае зубогенератора, а во втором — обычного зубчатого колеса.

Вссьма интересные особенности имеет передача с полужесткими зубьями [3], где полужесткость зубьев достигается наличием свободных краен зубьев (рис. 3). Свободные края, возникающие за счет торновых проточек под основания зубьев, при зацеплении зубчатых колес с погрешностями изготовления или монтажа, например, при наличин угла скрещивания р осей колес, под нагрузкой деформируются, обеспечивают новышенную прилегаемость сопряженных поверхностей и демифируют ударный характер передачи. При малых нагрузках эти деформации могут быть незначительными, а прилегаемость сопряженных поверхностей кромочной. В зависимости от изменения условай работы, погрешностей монтажа и износа рабочих поверхностей, протяженность и расположение контакта между зубьями передачи изменяется.

Наличие податливых участков, по расчетам и данным экспериментов, нозволяют повысить не только несущую способность и точность передачи, но и снижают ее шум на 5—8 до. Следовательно, зацепления с переменными свойствами лействительно существуют, жизненны и их классификацию считаем необходимой.

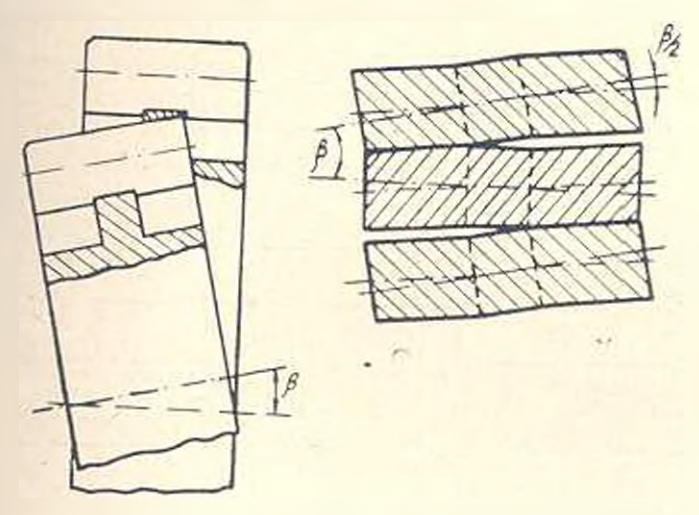


Рис. 3. Колесо со свободными краями зубьен.

Однако, описанные конструкции нельзя охватить существующими классификациями вообще, и классификацией [1] в частности, потому это они не учитывают зацепления с цеременным характером.

Вновь предлагаемая расширенная классификация системы зацеплений имеет вид, представленный на рис. 4.

Принципиальной повизной рассматриваемой классификации является введение двух новых категорий, после чего происходит «разлючене» существующих понятий оценки зубчатых зацеплений, общенявесных метолов их классификаций и т. д.

Нами предлагается две новые категории:

- -- зацепления с постоянной характеристикой;
- зацепления с переменной характеристикой.

Зацепления с постоянной характеристикой в статическом и динамическом состояниях имеют постоянную геометрию и стабильную форму контакта сопряженных поверхностей зубьев. Как правило, зубья заценляющихся колес данной категории обрабатываются одной из известных схем зубообработки и имеют сравнительно высокую жесткость.

Зацепления с переменной характеристикой в работе и в состоянии покоя зачастую имеют переменную геометрию и форму контакта сопряженных поверхностей.

Чтобы не создалось ложное представление о непригодности зацеплений с переменной характеристикой, отметим, что переменность в этих случаях не является бесконечной: она лишь отражает изменения характера работы зацепления (при пуске, останове, динамическом характе-

ре работы) и со стабилизацией режимов работы исчезает. В случае возникновения новых факторов, возмущающих стабильность работы зацепления, происходит соответствующая коррекция характера касания сопряженных поверхностей зубьев, которая для данных условий является стабильной и оптимальной.

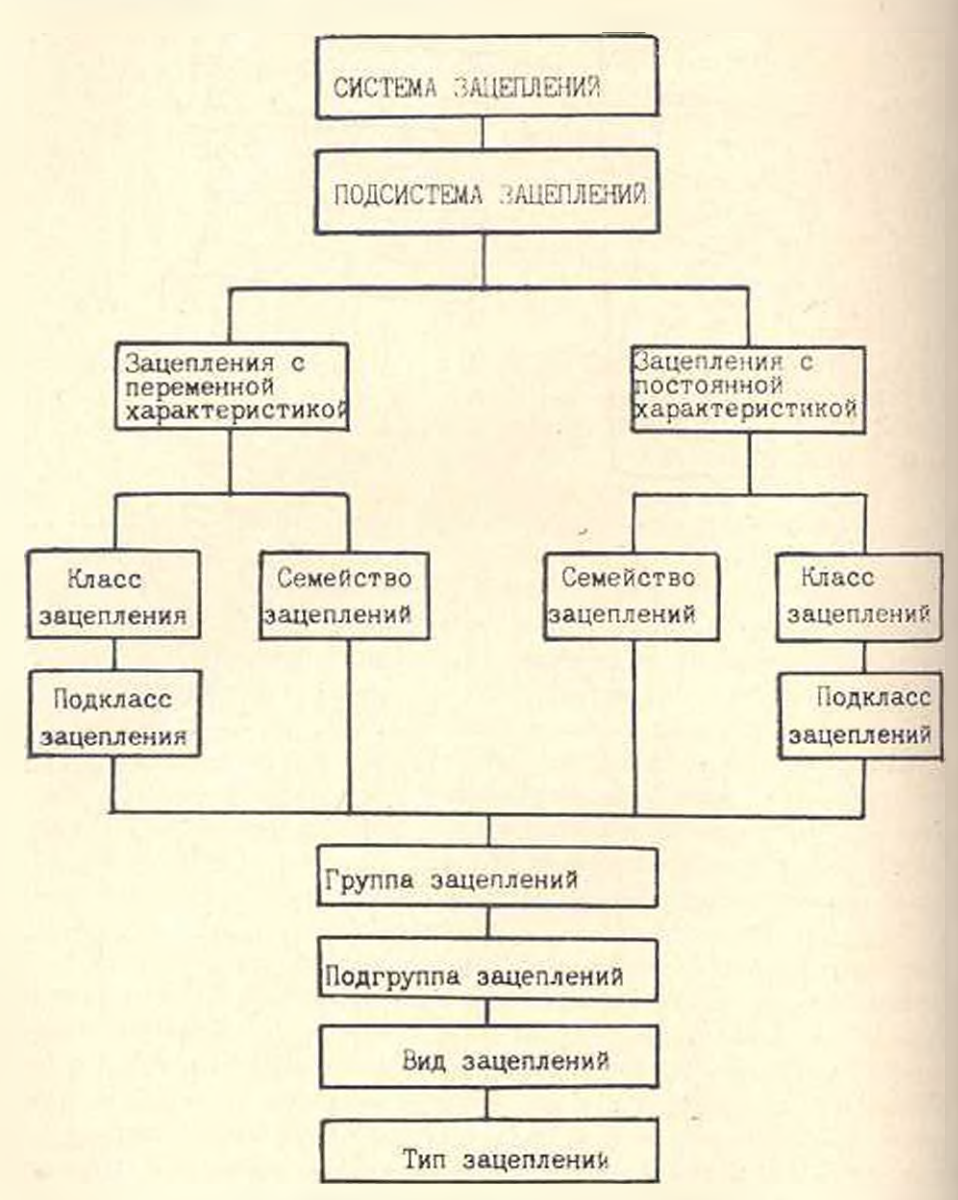


Рис. 4. Классификация системы зубчотых зацеолении

Каждая новая категория зацеплений с постоянной и переменной характеристыками и предложенной классификации должна иметь соответствующие семейства, классы и полклассы.

Нами предлагаются три семейства зацеплений с переменной характеристикой.

- Семейство зацеплений с частично видоизменяющейся образуюшей сопряженных поверхностей.
- 2. Семейство зацеплений с видоизменяющейся образующей сопряженных поверхностей.
  - 3. Семейство мгновенно генерируемых зацеплений.

Первое семейство зацеплений имеет такую сопряженную поверхность, которая при переходе зацеплений из статического состояния в динамическое частично видоизменяется, но не теряет свойственные ему теометрические свойства (рис. 1).

Для зацеплений второго семейства характерно то, что сопряженные поверхности теряют свои первоначальные геометрические параметры, например, эвольвентная поверхность на месту контакта превращается в плоскую или вогнутую поверхность.

Семейство меновенных зацеплений характеризуется генерированием зубьев в зоне зацепления (рис. 2). Полобные зацепления могут иметь переменный характер работы, если пормальная сила в зацеплении будет переменной. В этом случае переменность выражается и полном или неполном генерировании высоты зуба, что в свою очередь сказывается на несущей способности передачи.

Категорня «класс» для зацеплений с переменной характеристикой определяется не только совокупностью характеристик станочного зацепления, но и дополнительными категориями, например:

- характером взаимодействия между гибким элементом и жестким зубом;
  - -- количеством податливых участков на одном зубе;
- характером образования зубьев (миновенное генерирование зубьев только на одном колесе, на двух зацепляющихся колес одновременю и т. д.);
- возможностью образования на одном зубчатом колесе зубьев переменного направления при помощи зубогенераторов соответствующей конструкции (прямые и косые зубья);
- конструкцией зуба (упругий, полужесткий, цельный, сборныя и т. д.).

Предложенная классификация завершается общензвестными категориями— группа, подгруппа, вид и тип, которые являются общими для всех зацеплений.

Группа характеризуется ностоянством и переменностью передаточного отношения. Если переменность передаточного отношения для зацеплений с постоянной характеристикой не находит широкого использования из-за трудностей обработки зубьеш на некруглых колесах, то для меновенных передач это не является проблемой. Для этого достаточно изготовить гибкие эксцентричные тела 2 и между ними пропуслить зубогенератор 1 (рис. 2).

Подгруппа зацеплений характеризуется точностью передаточного отношения.

Вид зацеплений характеризуется относительным расположением осей вращения зубчатых колес в рабочем зацеплении.

Принадлежность зацепления тому или иному типу определяется постоянством или переменностью формы и расположения расчетной точки контакта сопряженных поверхностей относительно осей колес в рабочем зацеплении [1].

Предложенная и обоснованная на конкретных примерах классификация, используя уже установленные понятия, расширяет возможност классификации зубчатых зацеплений, делает ес более объемной а предусматривает нальнейшее развитие и создание новых исожиданных по замыслу передач.

Армле инетитут им Х Абовяна

Поступнао 10. VI, 1980

#### n. u. auveuesuv

## ԱՏԱԾՆԱԿԱՌՉՄԱՆ ՀԱՄԱԿԱՐԳԻ ԸՆԳԼԱՅՆՎԱՆ ԳԱՄԱԿԱՐԳՈՒՄԸ

## lk d din din c d

Դիտարկվում է ատամնավոր փոխանցումների մի քանի կոնսարուկցիաներ, որոնք ունեն աշխատանքային փոփոխական բնութադիր և չեն կարող ընդգրկվել գործող դասակարգումներով. Առաջարկված է տտամնակառչման Համակարգի նոր դասակարդում, որը ամբողջովին օգտադործելով ատամնավոր փոխանցումների մասին գոյություն ունեցող Հասկացողությունները, ընդարձակում է ատամնակառչման դասակարդման սահմանները և նախատեսում նոր ու արդեն դոլություն ունեցող ատամնավոր փոխանցումների հետադա դարգացումը։

#### ЛИТЕРАТУРА

- Ерихов М. Л. Принципы систематики, методы амализа и вопросы синтеза схем зублатых зацеплений. Автореферат докт. дисс., Хабаровский политехи, инст., 1972.
- 2. Амбарян Р. С., Тер-Акопян К. А., Давтян В. В. Пагрузочная пособность зуйг гибким профилем «Промышленность Арменки», 1977, № 2.
- 3. W. Hoting, Antibacklash gear system, 1953, Serial, No. 338.948.

<mark>Սիխնիկա</mark>կան գիտութ, սե**ւ**իա

XXIV, Nº 1, 1981

Серия технических наух

машиностроение

## и. А. тер-азарьев, с. с. егиян

# ОСОБЕННОСТИ ВЛИЯНИЯ СЕЧЕНИЯ СРЕЗА НА СИЛУ ПРИ НЕСВОБОДНОМ РЕЗАНИИ ПРИРОДНОГО КАМНЯ

Основной объем добычи многих разновидностей природного чамия (туфы, известняки, мраморы и др.) производится с помощью камнерезных машин, режущий орган которых выполнен в виде пил.

Имеющимися исследованиями процесса взаимодействия режущей части рабочего органа с обрабатываемым материалом достаточно полно охначены вопросы износа и эпергосиловых показателей [1, 2]. Однако вопросы энергосиловых показателей при несвободном резании в зависимости от режимов и состояния инструмента недостаточно изучены.

В настоящей статье рассмотрены вопросы влияния подачи, ширины среза и износа инструмента на силовые показатели процесса в условия несвободного резания, наиболее характерного для работы дисковых пил, зубки которых установлены в одну линию. Именио такие пилы нашли наибольшее распространение при добыче туфов и известияков.

Анализ процесса взаимодействия инструмента с обрабатываемым материалом, обладающим хрупкими свойствами, к которым относятся и природные каменные материалы, показывает, что силу в условиях несвободного резания можно выразить как сумму: силы потребной на разрушение (диспергирование) материала передней гранью  $P_{\rm p}$ , силы срезания материала с боковых сторон  $P_{\rm q}$  и силы трения режущей части по всему периметру контакта с обрабатываемым материалом  $P_{\rm pp}$ :

$$P = P_{p} + P \tag{1}$$

Составим математическую модель каждой из этих составляющих, используя имеющуюся информацию из литературных источников.

На основании [2] можем написать

$$P_{i} = \frac{C_{i}}{a^{\alpha}} F_{i} \tag{2}$$

гле и, Г. толщина и сечение среза; С. коэффициент.

Сила, потребная на сречание материала с боковых сторон, очевидно, золжна быть тем больше, чем больше а, т. с.

$$P_e = C_{\bullet} a^{\bullet} . {3}$$

Сила же трения будет тем больше, чем больше периметр контакта инструмента с обрабатываемым материалом, а также износ по задней грани Δ:

$$P_{vo} = C_s \Upsilon(b + 2a), \tag{4}$$

где  $b = \frac{F}{a}$  — ширина среза.

В (2), (3) и (4) коэффициенты  $C_i$  и  $C_2$  зависят от геометрии инструмента, физико-механических свойств породы и изпоса инструмента, а коэффициент  $C_3$  кроме того, и от скорости резания.

В общем виде математическая модель силы резания имеет вид:

$$P = \frac{C_1}{a^x} F + C_2 a^x + C_3 \Delta (b + 2a). \tag{5}$$

В представлениюм уравнении неизвестными являются коэффициенты  $C_i$ ,  $C_z$ ,  $C_z$  и ноказатели стененей x и y. Для их определения проведена серия экспериментов на различных хрупких материалах прочиостью

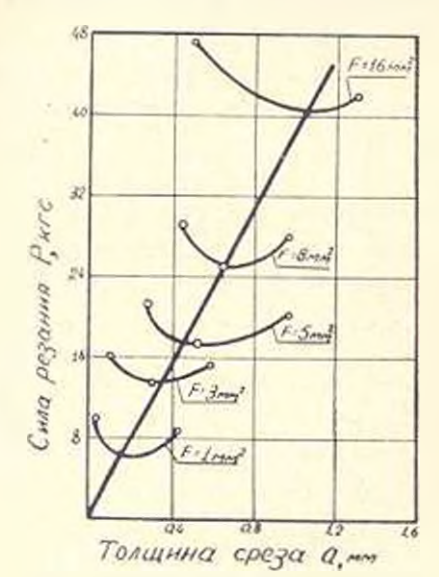


Рис. Зависимость силы резания от голинны и сечения среза для гуфа Азизбековского месторождения.

от 300 до 540 кгс/см- практически острым инструментом ( $\Delta=0.1$  мм,  $\gamma=0$ ). Одна из серий экспериментов, осуществленных на специальной установке с измерением сил резания с помощью тензометрической установки, обеспечивающей точность фиксации сил в пределах до 5%, представлена на рис.

Из представленных данных прослеживается характерное обстоятельство, установленное еще ранее [3], заключающееся в том, что для каждого сечения среза F наблюдается зона минимума силы, названная критической соответствующая определенной толщине среза  $a_{\rm кр}$ , значение которой с уменьшением F также уменьщается.

Наличие критической силы  $P_{\rm p}$  и толщины среза  $a_{\rm kp}$  при анализе уравнения (1) свидетельствует о том, что составляющие силы резавия с изменением толщины среза ведут себя по-разному. Если  $P_{\rm p}$  с увеличением a уменьшается, то  $P_{\rm to}$  и  $P_{\rm to}$  должиы увеличиваться.

Прежде чем перейти к установлению связи  $a_{\rm вр}$  с шириной среза b, необходимо выявить, какое влияние может оказать прочность породы и износ янструмента. В табл. 1 и 2 приведены некоторые экспериментальные данные.

а <sub>сж</sub> 33 кгс,с.и-			³c;	<sub>ж</sub> = 75 к:	er cm=	е <sub>ган</sub> = 540 кгс/см <sup>2</sup>			
<i>Ъ.</i> .м.н	а <sub>кр</sub> . .и.и	_ b 	b, .ч.м	a .w.w	b a <sub>×p</sub>	b, мм	а <sub>кр</sub> , мм	-h e <sub>sp</sub>	
6	0,128	4"	6	0,132	45	6	0,125	48	
10	0.36	28	10	0,37	27	10	0,36	28	
14	0,75	18,7	14	0.7	20	14	0,72	19,5	
16	0,9	17,8	16	0.91	17,6	16	0,89	18	
18	1.15	15,6	18	1,1	16,3	18	1,18	15,2	

Как видно из табл. 1, прочность породы не оказывает влияние на значение  $a_{\rm sp}$ , повышая лишь абсолютные значения силы  $P_{\rm sp}$ . Несколько иная картияз наблюдается с изменением износа инструмента  $\Delta$ : оно приводит к смещению критических толщии среза в сторону больших значения.

Таблица 2

18.11. HR F.	Q = Q		2 0,1		7 0'3		2 = 0.6		7 = 1	
П тошали сетепии	.w.w	li, 17.17	H <sub>ap</sub> .	ь, .и.и	а <sub>кр</sub> . м.ч	.u.u	мм	b, .и.и	мм	b, мм
1	0,154	6,5	0,175	5,7	0,215	4,65	0,25	4	0,28	3,6
3	0,317	9,8	0.35	5,6	0.405	7.4	0.47	6,4	0.53	5,67
δ	0,447	11,2	0.475	10,5	0,55	9,1	0.63	8	0,705	7,1
8	0,61	13.1	0,69	11,6	0.74	10,8	0,825	9,7	0,915	8,75
16	0.97	16,5	1,07	15	1,15	14	1,25	12,8	1,37	11,7

Имея экспериментальные данные для разных условий резания в широком диапалоне изменения a и F и зная значение критических толшин среза  $a_{\rm kp}$  для разных F, на ЭВМ ЕС1022 определены значения ненавестных в уравнении (5) для фельзитового туфа Азизбековского месторождения:  $C_1 = 1.55$ ;  $C_2 = 13$ ;  $C_3 = 0.8$ ; x = 0.5; y = 1. При этом установлено, что с изменением прочности породы показатели стененей x и y остаются ненаменными, а изменяются лишь коэффициенты  $C_3$  и Зависимость этих коэффициентов от прочности имеют личейный вил:  $C_3$ ,  $C_4$ ,  $C_4$  =  $K\sigma_{\rm cx}$ , гле даны в  $\kappa zc/cm^2$ .

Значения коэффициента k следующие: для  $C_1 - k_1 = 2.88 \cdot 10^{-1}$ ;  $C_2 - k_2 = 26 \cdot 10^{-3}$ ;  $C_3 - k_4 = 1.48 \cdot 10^{-3}$ .

Дифференцированием уравнения (5) можно определить зависимость от b и Δ. Однако выражение имеет громоздкий вил, вследствие чего оно ниже приводится в упрощенном виде, обеспечивающих точность в пределах  $\pm 5\%$ :

$$a_{so} = 3.55 \cdot 10^{-3} b (b + 22.5\Delta), \text{ м.м.}$$
 (6)

#### Выводы

- 1. Представленная для несвободного резания математическая молель силы резания природного камия хорошо описывает эксперимемтальные данные процесса взаимодействия инструмента с породой в зависимости от прочности, сечения среза и износа инструмента.
- 2. Критическая толщина среза, при которой сила резания имеет наименьшее значение, не зависит от прочности породы и является функцией шпрякы среза (сечения среза) и износа инструмента по задней грани.

ниикс

Поступпло 25, П. 1980

թ. Ա. ՏեՐ-ԱՁԱՐԵՎ, Մ. Ս. ԵՂԵՅԱՆ

ԿՏՐՎԱԾՔԻ ԱԶԴԵՑՈՒԹՅԱՆ ԱՌԱՆՁՆԱՀԱՏԿՈՒԹՅՈՒՆՆԵՐԸ ԿՏՐՄԱՆ ՈՒԺԻ ՎՐԱ ԻՆԱԿԱՆ ՔԱՐԵՐԻ ՈՉ ԱԶԱՏ ԿՏՐՄԱՆ ԺԱՄԱՆԱԿ

# Ամփոփում

Կտրման ուժի համար կազմած մակեմատիկական մողելի ո<mark>ւսումնասի</mark> թությունը պարդեց, որ ոչ ազատ կարման ժամանակ, միննույն կտրվածքի դեպքում դոլություն ունի կարվածքի խորության և լայնության այնպիսի հարարերություն, որի ժամանակ կարման ուժը նվազադույնն է, որը ապադուցված է փորձնրով։ Այդ խորությունը անվանում ննք կրիաիկական

Կրիտիկական խորությունը կարժան լայնության և Հետևի նիստի մաջվածքի ավելացման։ Հետ աձուժ է, բայց նրա արժերը ջարևթի աժթության փոփոխումից մնուժ է Հաստատուն։

#### ЛИТЕРАТУРА

- Касьян М. В., Тер-Азарыев Н. А. Оценка обрабатываемости природного камия. Тр. НПИКС, выл. З. М. Стройнидат, 1966, с. 169—173.
- Тер-Азарыев И. А. Динамика процесса резвиня камия. Ереван, иза Госстрой АрмССР, 1959, 106 с.
- Тер-Азарьев И. А. Влияние формы контакта кромки на усилия при резании камии.
   «Известня АН АрмССР (серия Т. Н.)», т. Х. № 2, 1957, с. 43—50.

# 28348480 002 ԳԻՏՈՒԹՅՈՒՆՆԵՐԻ ԱԿԱԳԵՄԻԱՅԻ ՏԵՂԵԿԱԳԻՐ НЗВЕСТИЯ АКАДЕМИИ НАУК АРМЯНСКОЯ ССР

արտութ. սեշիա

XXIV, Nº 1, 1981

Серия технических наук

МАШИНОСТРОЕНИЕ

#### Е. Дж. КОЧИНЯН

# РАСЧЕТ НЕСУЩЕЙ СИСТЕМЫ ГРУЗОВОГО АВТОМОБИЛЯ С ЖЕСТКИМ КУЗОВОМ ПРИ ИЗГИБЕ В ПОПЕРЕЧНОЙ ПЛОСКОСТИ РАМЫ

При эксилуатации автомобиля несущая система подвергается воздействию внешних сил, которые можно разделить на симметричные и кососимметричные. Симметричные нагрузки вызывают вертикальный изгиб, а кососимметричные — кручение несущей системы. Так как ось кручения не совпадает с геомстрической осью симметрии несущей системы, то вследствие неровностей дороги, новорота, несимметричного торможения или разгона автомобиля в сечениях лонжеронов рамы возникают пормальные напряжения горизонтального изгиба  $\sigma_{n,r}^{\mu}$ .

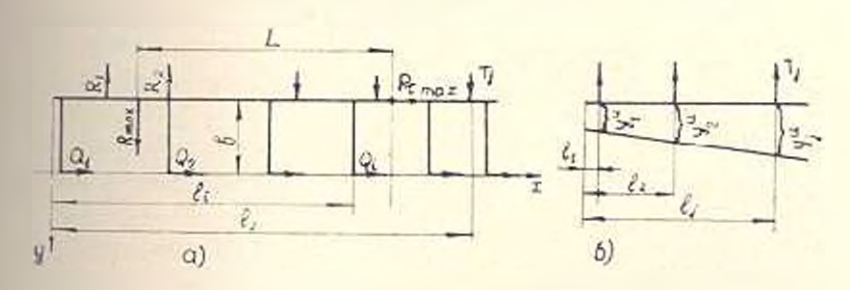


Рис. 1. Расчетная схема: a =рамы,  $\delta =$ пистерны.

Максимальная величина горизонтальной силы, вызывающей горизонтальный изгиб несущей системы  $R_{\rm max}$  (рис. 1. а), ограничивается боковым скольжением передних колее и сопротивлением поворота заднето моста (как наиболее нагруженного) вокруг вертикальной оси:

$$R_{\max} \leqslant G_{\mathbf{1}} \varphi_{\max} + \frac{P_{\max}}{L}$$
 (разгон); (1)  $R_{\max} \leqslant G_{\mathbf{1}} \varphi_{\max} + \frac{B}{L}$  (торможение),

тде  $R_{\max}$  - горизонтальная сила, приведенная к оси передних колес; - , — коэффициент сцепления шины с дорогой в боковом направле

нии  $(0.7 \pm 0.8)$ ;  $G_1$  — масса автомобиля, приходящаяся на переднюю ось;  $P_{\rm total}$ ,  $P_{\rm total}$  — соответственно, максимальные тягоные и тормозные силы; L — база автомобиля; B — колея задних колес.

Для отечественных грузовых автомобилей с колесной формулой  $4 \times 2$   $R_{\rm max}$  составляет  $25 \div 30\%$  от общей массы автомобиля.

Установленный на раме автомобиля кузов и способ его крепления оказывают значительное влияние на напряженное состояние элементов рамы [1—3]. Ниже рассмотрены условия совместной работы рамы и кузова на примере автомобиля-цистерны.

Выбор этого типа автомобиля связан с тем, что цистерна представляет собой один из наиболее жестких кузовов и к работе этого типа кузова предъявляются следующие требования:

- изоляция его от скручивающих и изгибающих усилий рамы, возникающих при воздействии дороги на колеса автомобиля;
- изоляция рамы от чрезмерных динамических воздействий кузова при точечной установки последнего;
- ограниченная гибкость крепления, т. к. слишком большое относительное перемещение кузова снижает устойчивость движения.

В обеспечении этих условий важным фактором является рациональное размещение монтажных узлов, при котором допустимый прогиб соединительных элементов не вызывает перенапряжения в его частях. Число необходимых установочных точек и их размещение по дяние кузова предопределяется допустимой крутильной жесткостью и величной нормальных напряжений вертикального изгиба и стесненного кручения [3]. Что касается нормальных напряжений горизонтального изгиба, то их значения можно регулировать с помощью боковых жесткостей соединительных элементов.

В предлагаемом методе расчета несущих систем грузовых автомобилей на изгиб в горизоптальной плоскости приняты следующие допущения:

- жесткость кузова намного велика по сравнению с жесткостью рамы и со стороны кузова на раму через соединительные элементы действуют сосредоточенные усилия *T*<sub>1</sub> (рис. 1);
- рама рассматривается как плоская линенно-деформируемая в статически неопределимая стержиевая система;
  - отсутствует зазор в кроиштейнах рессор.

Расчет произведен методом сил на последовательно изменяемой основной системе, получаемой путем понеречных разрезов всех поперечин по осям самметрии рамы. Система (рис. 1) m+k-2 раза статически неопределима (m- количество поперечин рамы, k- количество точек крепления цистерны на одном лонжероне). Как внешине силовые факторы, выступают боковые усилия в кронштейнах рессор  $R_i$  и а как внутренине  $-Q_i$  и  $T_i$ . Так как рама симметрична, а нагрузка несимметрична, то определяются только поперечные силы  $Q_i$ .

Система канонических уравнений, необходимая для расчета Q<sub>6</sub> имеет следующий вид:

тде  $\delta_{th}$  — коэффициенты-единичные перемещения в основной системе по направлению силы  $Q_t$  от силы  $Q_k = 1$ :  $\Delta_t$  — свободные члены-перемещение основной системы в направлении действия внешней натрузки.

С помощью (2) определяются  $Q_t$ , а для определения  $T_t$  испольвуются два условия равновесия пистерны и горизоптальной плоскости (рис. 16)

$$\sum T_j = 0, \qquad \sum T_j t_j = 0 \tag{3}$$

и уравнение совместности деформаций лонжерона, соединительных элементов и цистерны в местах крепления соединительных элементов:

$$Y_i^p + Y_j^{e_0} = Y_j^{u_0} \qquad (j = 1, 2, ..., m),$$
 (4)

где  $Y_j$ ,  $Y_j^a$ ,  $Y_j^a$ — соответственно, деформации лонжерона рамы, соединенных элементов и цистерны в сечении крепления j-ого соединительного элемента р горизонтальной плоскости;  $l_j$  — координата соединительного элемента (рис. 16).

В сечения крепления 1-ого соединительного элемента деформация лонжерона определяется как для балки переменного поперечного сечения способом Б. Н. Жемочкина [4].

Постоянные интегрирования определяются, исходя из следующего: поперечная сида и горизонтально изгибающий момент в начале лонжерона равны нулю; прогиб лонжерона в сечениях над осями перединх и задинх колес равен пулю.

Согласно первому принятому допущению, перемещение кузова в сечении крепления *j*-ого соединительного элемента определится по формуле (рис. 1. б):

$$\frac{Y_1^{\text{II}} - Y_2^{\text{II}}}{l_1 + l_2} - \frac{Y_2^{\text{II}} - Y_2^{\text{II}}}{l_2 - l_2}, \tag{5}$$

а деформания соединительных элементов -

$$Y_j^{r_j} = \frac{T_j}{C} \,, \tag{6}$$

где С -- боковая жесткость соедишительных элементов.

Совместным решением уравнений (2) ÷ (6) определяются все силовые факторы и учитывая влияние динамических нагрузок от воздей-

ствий и зависимости от жесткости соединительных элементов, для автомобиля АЦ-4, 2-130 (цистерна) строятся энюры нормальных наприжений горизонтального изгиба (рис. 2) и относительных перемещении цистерны (рис. 3) по формуле:

$$G_j = Y_j^{c_0}/C = C_k - Y_j^{c_0}/C = 10000 \ H/\text{M.u.}.$$
 (7)

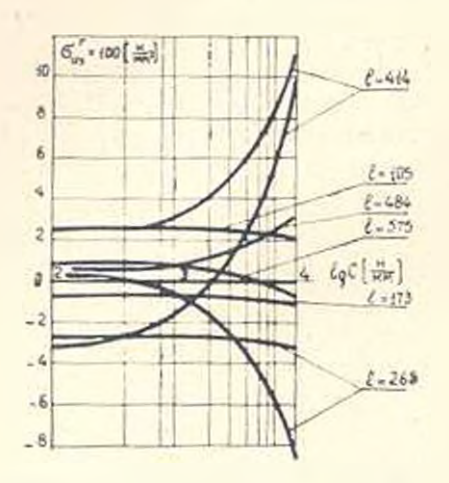


Рис. 2. Напряжение в раме антомобили AII-4.2—130 при горизонтальном изгибе (1—расстояние от передней кромки лопжерона).

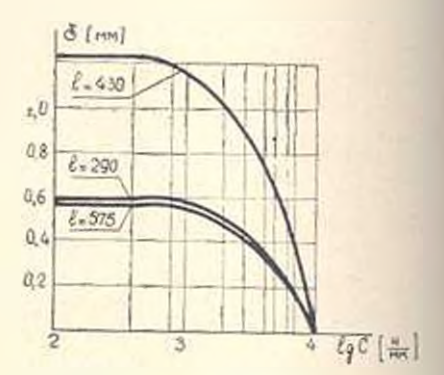


Рис. 3. Относительное переменнение кузова.

Из рис. 2 и рис. 3 следует, что с увеличением жесткосты соединительных элементов перемещение кузова относительно рамы уменьшается, а пормальные напряжения горизонтального изгиба лонжерона, в основном, увеличиваются, однако их изменение не пропорционально. Изменить поперечные сечения лопжерона рамы базового автомобиля нецелесообразно, т. к. для сборки автомобиля-цистерны завод-изготовитель использует раму базового автомобиля без существенных переделок. Поэтому необходимо с помощью рационального использования несущих способностей кузова и соединительных элементов обеспечить условие, при которых напряженные состояния рам автомобилей АЦ-4, 2-130 и ЗИЛ-130 мало отличались друг от друга.

Выполненные расчеты позволяют сделать следующие выводы.

- 1. За счет уменьшения жесткости соединительных элементов от 10<sup>4</sup> до 10<sup>3</sup> Н/мм, наибольшие напряжения от изгиба в горизонтальной плоскости уменьшаются в 7.3 раза, а горизонтальные изгибающие моменты, дейстоующие на пистерну— в 8.8 раза, перемещение же кузова увеличивается лишь в 1.8 раза.
- 2. Горизонтальная жесткость соединительных элементов влияет на напряженное состояние лонжерона в участке установки перелнего соединительного элемента, второй и третьей поперсчии.

3. Для автомобилей с жестким кузовом и грузоподъемностью 4—6 г рекомендуется боковую жесткость соединительных элементов выбирать в пределах 800÷1000 Н/мм. а для соединительного элемента, устанавлинаемого в зоне оси задних колес, предусмотреть боковой зазор до 2 мм.

ЕрПП ви К Маркса

Поступило 16. IV. 1980

#### 2. Ձ. ՔոցիъзиՆ

ԿՈՇՏ ԹԱՓՔՈՎ ԲԵՌՆԱՏԱՐ ԱՎՏՈՄՈԲԻԼԻ ԿՐՈՂ ՀԱՄԱԿԱՐԳԻ ՀԱԾՎԱՐԿԸ ՇՐՋԱՆԱԿԻ ԼԱՅՆԱԿԱՆ ՀԱՐԹՈՒԹՅԱՆ ՄԵՋ ԾՈՄԱՆ ԳԵՊՔՈՒՄ

# Ամփոփում

«Պակրթի Լայրակար կոշտություր գրցություրը։

Դիստերկուդ է իսշտ հափեի ը շեջարակի Հափից՝ սեսշվուց է կատով բակար Հանկության դրժություն աստծանով Լահուգրրի վետ։ <sub>Ռ</sub>ախոքար դրժություրին արևուդրեր անգրարարար արևություրին արևություրին արևություրին արևություրին արևություրին արևություրին արևություրին արևություններ արևություներ արևություններ արևություներ արևություններ արևությո

#### ЛИТЕРАТУРА

- Владыкин Н. Г. и др. Влияние нараметров амортизационных узлов на динамическую нагруженность несущей системы грузового автобяля. «Автомобильная промышленность», 1973, № 9.
- 2. Спицыка Д. И. и др. Исследование напряженного состояния несущих систем при различных способах закреплении жестких кузовон на автомобильных рамах. Сб. «Расчеты на прочность», вып. 17. М., «Машиностроение», 1976
- Максапетян Г. В., Кочинян Г. Дж. Влияние соединительных элементов кузово и раим на ресурс и крутильную жесткость несущей системы. «Промышленность Армении», 1977, № 9.
- 4. *Пономарев С. Д.* и др. Расчеты на прочность в машиностроении, т. Т. М., Машгиз, 1959.



Տեխնիկական գիտուր սեբիա

XXIV, No 1, 1981

Серия техническия

МАШИНОСТРОЕНИЕ

#### Г. Л. ПЕТРОСЯН, Г. С. АПОЯН, Г. В. МУСАЕЛЯН

# МЕХАНИЧЕСКИЕ СВОИСТВА КОМПОЗИЦИИ «АБРАЗИВ-СВЯЗКА» С УЧЕТОМ РЕАЛЬНОГІ ПОРИСТОСТИ МАТЕРИАЛА

Абразивно-металлические композиции, получаемые методом порошковой металлургии, широко используются для изготовления режушего инструмента. Различные методы формования поэволяют получать материалы с варьируемой остаточной пористостью. Обычным прессованием (двухсторовиим, односторовним) и с последующим спеканием получают материалы со сравнительно большой пористостью, в то время как экструдированные материалы имеют высокую плотность.

В работе [1] показано, что меняя зеринстость и концентрацию абразива, в одинаковых условиях обычного прессования получаются разные композицисниые материалы. Но наличие остаточной пористости в абразивно металлических композициях затрудняет определение лействительных механических свойств композиционного материала. Исключая влияние пористости, теорией пластичности пористых материалов были получены диаграммы деформирования абразивно-металлических композиционных материалов [1]

Уравнения теории пластичности пористых упрочияющихся материалов [2, 3] учитывают изменение пористоски в процессе формования и основаны на предположениях Грина [4]. Однако, как показывают экспериментальные исследования [2, 5], неличина пористости, определяемая формулами теории пластичности пористых материалов, расходится с данными экспериментов.

В данной работе приведены результаты исследования механических свойсти прессованных и экструдированных композиций «абразывсвязка» с учетом реальной пористости материала.

Учет особенностей пористости в реальных материалах осуществляется введением постоянных для данного материала коэффициентов и и и в уравнения теории пластичности пористых материалов и их определением экспериментальным путем.

Тогда уравнения теории течения пористых изотролных материалов примут вид:

$$a_{xxx} = \frac{1}{\beta^{x_1 + y_2}} \left( \frac{3}{2} S_{1} S_{1} + 9 \alpha^{x_2} S_{2} \right)^{\frac{1}{2}};$$

$$d\bar{s}_{xxx} = \left( \frac{3}{2} de_{1} de_{1} + \frac{d^{\frac{1}{2}}}{2} \right)^{\frac{1}{2}};$$

$$d\epsilon_{ij} = \frac{d \epsilon_{xxx}}{2^{\frac{1}{2}} s_{xx}} \beta^{\frac{1}{2}} \left[ z_{ij} - (1 - 2z^{x_1}) \delta_{ij} z_{0} \right];$$

$$= \frac{9z^{\frac{1}{2}} (1 - v) d^{\frac{1}{2}} s_{xxx}}{\beta^{\frac{1}{2}} s_{xxx}} a_{0}.$$
(1)

тде  $z_{\text{вта}}$ ,  $dz_{\text{гла}}$  эквивалентное напряжение и приращение деформации;  $de_{ij}$ ,  $dz_{ij}$ ,  $S_{ij}$ ,  $z_{ij}$  соответствение, компоненты дениаторов и тенворов прирашений иластических леформаций и напряжений;  $d_0 = \delta_{ij} z_{ij}/3$  — среднее напряжение;  $d_0 = \delta_{ij} z_{ij}/3$  — прирашение средней деформации;  $d_0 = c_{ij} c_{ij}/3$  — прирашение средней деформации;  $d_0 = c_{ij} c_{ij}/3$  — среднее напряжение;  $d_0 = c_{ij}/3$  — прирашение средней деформации;  $d_0 = c_{ij}/3$  — среднее напряжение;  $d_0 = c_{ij}/3$  — прирашение средней деформации;  $d_0 = c_{ij}/3$  — среднее напряжение;  $d_0 = c_{ij}/3$  — прирашение среднее деформации;  $d_0 = c_{ij}/3$  — среднее напряжение;  $d_0 = c_{ij}/3$  — прирашение среднее напряжение и  $d_0 = c_{ij}/3$  — прирашение среднее напряжение;  $d_0 = c_{ij}/3$  — прирашение среднее напряжение и  $d_0 = c_{ij}/3$  — прирашение среднее напряжение;  $d_0 = c_{ij}/3$  — прирашение среднее напряжение  $d_0 = c_{ij}/3$  — прирашение  $d_0 = c_{ij$ 

Для исследования механических свойств абразивно металлических композиций были изготовлены цилиндрические образцы диаметром 8 и высотой 10 мм на металлической связке М1 (Си 80% + Sn 20%). В качестие абразива использовались сортированные на вибростоле зерна белого влектрокорунда марки 23А изометрической формы различной вернистости (80/63, 160/125, 315/250) и концентрации абразива (50, 100, 150%).

Прессованные образцы изготовлены технологией, описанной в [1]. Образцы диаметром 20 и высотой 10 мм получены двусторовним прессованием под давлением 60 МПа и нагревом в герметических условиях до 700—750° С в течение 10 мин, которые затем водвергнуты экструзии, совмещая процессы формования и спекания, с коэффициентом вытяжки  $\lambda = 2, 4, 6$  ( $\lambda$  — отношение площадей поперечного сечения заготовки и экструдированного материала). Полученные спеченные абразивоносные стержии разрезались влмазным кругом, удалялись оболочки, шлифовались цилиндрические поверхности и горпы.

Образны подвергались одноосному сжатию. Увеличение степены сжатия осуществлялось ступенчатым нагружением. После каждой і-той ступени измерялись значение силы  $P_{tt}$  диаметр — к высота  $h_{tt}$  образца.

На основания полученных данных строились истинные днаграммы сжатия и кривые изменения пористости в координатах z=e и v=e, где  $\sigma=\frac{P}{F}$ — осевое напряжение;  $e=\ln\left(\frac{h_0}{h}\right)$ — осевая пластическая деформация;  $F_t$ — текущее значение площади попереччого сечения образца;  $h_s$ — начальная высота образца.

Используя зависимости (1) для одноосного сжатия, получаем:

$$\sigma_{ann} = \frac{1}{3^{n-\alpha}} \frac{1}{2}, \qquad d = \frac{1}{1 + 2^m} de; \qquad (2)$$

$$dv = -\frac{3z^{n}(1-v)}{1+z^{m}}de,$$
 (3)

где de — приращение осевой пластической деформации.

Текущая пористость образца и интеграл от эквивалентного приращения пластических деформации после каждой (-той ступени нагружения определялись из выражений

$$P_{i} = P_{i-1} + \Delta P_{i} \qquad \int dt_{mi} \simeq \sum_{i=1}^{k} \Delta \overline{z}_{mi} , \qquad (4)$$

где k — число предылущих ступеней нагружения.

Как следует из уравнения (3), на изменение пористости оказывает влияние только коэффициент т. Следовательно, экспериментально определяя изменение пористости v от деформации e, по формуле (3) можно найти значение коэффициента т. Для этого, зная начальную пористость материала v., приращение осевой пластической деформации  $\Delta e$  и задавая значения коэффициента m (1,5 m 0,5) с шагом 0,05, по формуле (2) определяем семейство кривых v—e. Коэффициент т определяется из условия совпадения кривых v—e. подсчитанных по формуле (3), с соответствующими экспериментальными кривымя. Обработка экспериментальных данных на ЭВМ показала, что для всех исследуемых композиций m = 0,75.

На рис. 1 показаны теоретические кривые v-e для начальных пористостей  $v_{\rm e}=0.282,\ 0.212$  и 0.155 при m=0.75. Сводка экспериментальных результатов на рис. 1 обозначена точками.

Определение коэффициента n осуществляется по методике [1]. Используя истинную днаграмму сжатня z-e материала с различной начальной пористостью коэффициент  $m\!=\!0.75$  и задавая значения коэффициента n (0,05  $\leqslant$  n  $\leqslant$  1,0) с шагом 0,05, по формулам (2) определяем

значения  $\sigma_{\text{эки.}}$  и получаем семейство кривых  $\sigma_{\text{эки.}} = d \, \epsilon_{\text{эки.}}$  Диа-

грамме деформирования материала соответствует такое значенил коэффициента n, при котором кривые деформирования образцов с различной начальной пористостью совпадут друг с другом. т. е. не будут занисеть от пористости материала. Установлено, что для исех исследуемых композиций n=0,5.

На рис. 2 силошными лициями 1,2 показаны днаграммы деформирования прессованного абразивно-металлического материала зериистостью 160/125, 50%-ой концентрации при  $m_{\star}=1$  и  $m_{\star}=0.75$ , соответственно. Как следует из сопоставления кривых 1 и 2, коэффициент m оказывает незначительное влияние на характер днаграммы деформирования материала, приближая ее к экспериментально обоснованным результатам [6].

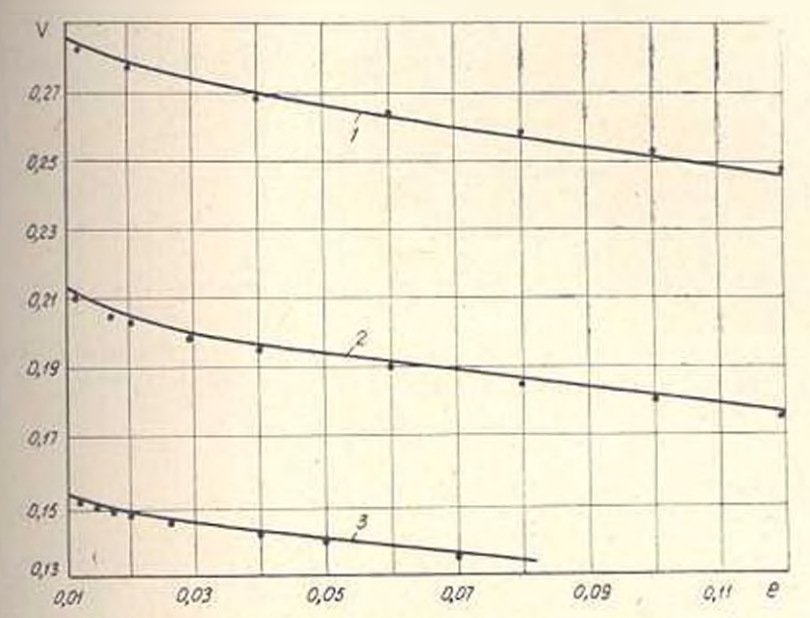


Рис. 1. Изменение пористости абразивно-металлических композиций в зависимости от деформации:  $I-V_o=0.282;\ 2-V_o=0.212;\ 3-V_o=0.115.$ 

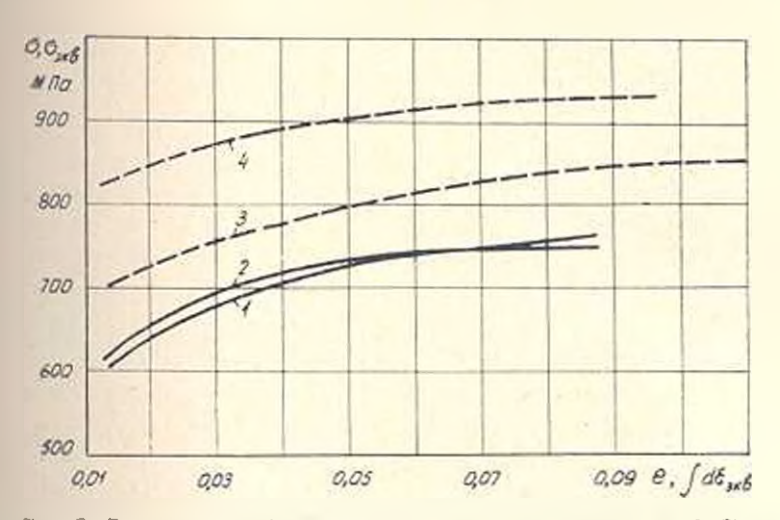


Рис. 2. Диаграммы деформирования прессованных (кривые 1, 2) и экструдированиых (кривые 3, 1) абразивно-металлических комполиций вернистостью 160/125, 50%-ой концентрации.

Исследования экструдированных образцов показали, что незывисимо от зернистости и концентрации абразива начальная пористость материала не превышала 5%. На основании анализа результатов одноосного сжатия для экструдированных образцов установлено, что днаграммы сжатия и деформирования экструдированного материала мало отличаются друг от друга из-за незначительной начальной пористости образцов.

На рис. 2 штриховыми линиями 3, 4 показаны диаграммы деформирования экструдированных образцов зернистостью 160/125, 50%-оя концентрации при  $\lambda = 1$  и 6, откуда следует, что экструдированные абразивно-металлические композиции обладают более высокими показателями прочности, чем прессованные.

ЕрІВІ нм К. Маркса

Поступило 8 1Х. 1980

Գ. Է. Պենթոնցան, Գ. Ա. ԱՓՈՑԱՆ, Գ. Վ. ԾՈՒՄԱՅԵԼՅԱՆ

# «ՀՂԿԱՆՅՈՒԹ–ԿԱՊԱԿՑՈՂ ՆՅՈՒԹ» ԿՈՄՊՈԶԵՑԻԱՅԻ ՄՆԽԱՆԻԿԱԿԱՆ ՀԱՏԿՈՒԹՅՈՒՆՆԵՐԸ՝ ՀԱՇՎԻ ԱՌՆԵԼՈՎ ՆՅՈՒԹԻ ԻՐԱԿԱՆ ԾԱԿՈՏԿԵՆՈՒԹՅՈՒՆԸ

# 11. if din din c d

գործակիցները և կառուցված են այդ նյուների դեֆորմացման դիադրամեաժե և էջոտրուզիայով ստացված «Հղկանյուն-կապակցող նյուն» կոմպոդիցիաների մեխանիկական հատկությունները։ Որոշված են ծակոտկեն նյութերի ալաստիկության տեսության բանաձներում մասնակցող նյունեն նյութերի ալաստիկության տեսության բանաձներում մասնակցող մասկոննեն նյութերի և կրումնասիրվել է կտրող վործիջների դեֆորմացման դիադրամենը և հրանիցները և կառուցված են այդ նյուների դեֆորմացման դիադրամենի և կրումնասիրվել է կտրող վործիջների համար օգտագործվող մասկաներ և կրումնասիրվել է կտրող վործիջների համար օգտագործվող մասկաներ և կրումնասիրվել է կտրող վործիջների համար օգտագործվող մասկաներ և կրումնասիրվել է կտրող վործիչների համար և հանական և հանարան և հանական և հանակ

#### ЛИТЕРАТУРА

- Петросян Г. Петросян Х. Л. Апоян Г. С. цияграмма леформиро то изотройнего абрязивно металлического композиционного материала «Сператвердые материалы», 1980. № 1. с. 22—25.
- 2 Петросян Г. Л. О теории пластичности пористых тел «Известия кумив. Машиностроение», 1977, № 5, т. 10—13.
- 3 Петросян Г. Л. О теории иластичности пористых тел. Сб. «Тез. докл. XIX изучетехи, конф. проф-преподав, сост. втуз. Закавказ, респ., посвящ. 60-летию Великой Октябрьской Социалистической революции», Тбилиси, 1977, с. 26.
- Грин Р. Дж. Теория пластичности пористых тел. Со. пер. Механика», 1973. № 1 (140), с. 109—120.
- Скороход В. В., Мартынова И. Ф. Особенности необратимой деформации спечение го пористого тела из упрочивющегося пластичного металла. Сообщ. 1, -Поромконая металлургия», 1977. № 4, с. 70—74.
- Shima S., Oyane M. Plasticity theory for Porous Metals, "International Journal of Mechanical Sciences", 1976, v. 18.

Տիխնիկական դիտուր, սիշիա

XXIV. No 1, 1981

Серия теалических илук

СТРОИТЕЛЬНАЯ МЕХАНИКА

# л. м. гантова, е. н. пересынкин

# ОБ ОДНОЙ ВАРИАЦИОННОЙ ЗАДАЧЕ В ТЕОРИИ ПОЛЗУЧЕСТИ ПРИ РАСЧЕТЕ НА ИЗГИБ ЖЕЛЕЗОБЕТОННОЙ БАЛОЧНОЙ ПЛИТЫ С УЧЕТОМ УСАДКИ БЕТОНА

Многие задачи строительной механики в настоящее время решаются с учетом упруго-вязких свойств конструкционных материалов. Разлячным вопросам этого важного направления посвящены работы И. Х. Арутюняна. Г. Н. Маслова, А. Р. Ржаницына, М. А. Колтунова и др.

Вариационные методы теории ползучести, относящиеся главным образом к металлическим материалам, развиты в трудах Л. М. Качанова и Ю. Н. Работнова. В приложении к упруго-ползучим телам: бетон, дерево, пластмассы и др., эти методы рассмотрены М. А. Задояном.

В настоящей работе, исходя из наследственной теории старения [1, 2] и вариационных уравнений [3—5], получено вариационное уравнение для изгиба железобетонной упруго-ползучей балочной плиты при учете усадки бетона и приведены некоторые его приложения к расчету железобетонных симметрично армированных балочных плит.

В основу работы положены гипотезы и предпосылки, принятые з теории железобетонных конструкций. Модуль меновенной деформации бетона Е принимается постоянным осредненным, ползучесть арматуры не учитывается вследствие се пренебрежимо малого значения в сравнение с ползучестью бетона, а коэффициент поперечного деформирования и для бетона принят постоянным

1. Рассмотрим нагиб длинного симметрично армированного железобетонного слоя. При соотношении сторон гакого слоя bll < 3 его расчет сводится к расчету балки-полосы, вырезанной из слоя двумя плоскостями, перпендикулярными к длинной стороне и отстоящими друг от друга на единицу длины. Поперечное сечение такой балки единичной ширины примем прямоугольным с двойным симметричным армированием. Координатную плоскость совместим со средниной поверхностью слоя. Ось оу направим параллельно продольной стороне слоя, oz вниз, высоту сечения обозначим 2h, а пролет — l.

Рассмотрим первую стадию напряженно-деформированного состояния конструкции, когда в растянутой зоне еще не появились трешины. Сечение балки-полосы испытывает действие изгибающих моментов M(x,t) и продольных усилий N(x,t), меняющихся по дливе и во времени при учете усадки бетона S(t), которая также равномерна по дливе и переменна во времени.

Зависимость между напряжением и полной относительной деформацией в бетоне согласно [1, 2] имеет вид:

$$\frac{E}{1-\mu^2}\left[\epsilon(t)+S(t)\right]=c(t)+\int c(\tau)K(t,\tau)d\tau,\tag{1}$$

гле  $S(t) = S_0^* [1 - \exp[-\alpha(t-\tau_1)]]^{\tau_1}$ ;  $S_0^* = S_0 \exp(-\alpha\tau_1)$ ; наибольшее значение усадки бетопа, неличина которой устанавливается опытным путем;  $\alpha$  — константа, зависящая от состава и условий твердения бетона;  $K(t, -E) = \frac{1}{C^*} \left[ \frac{1}{E} + C(t, \tau) \right] - \text{ядро послелействия по}$  Н. Х. Арутюняну:  $C(t, \tau) = \tau \tau [1 - \exp[-\gamma(t-\tau)]]$ ;  $\varphi(\tau) = \frac{A}{C_0} + C_0$ ;  $\gamma$ , A и  $C_0$  — характеристики старения бетона.

Используя гипотезу плоских сечений, условия статического равновески и совместности деформаций, получим связь между компонентами деформаций и внутренних усилий

$$t_{0}(t) = \beta \left[ \frac{i(1-\mu^{2})N(t)}{EF} - S(t) \right] +$$

$$+ \int_{-1}^{2} \left[ \frac{(1-\mu^{2})N(\tau)}{vEF} + S(\tau) \right] R_{1}(t,\tau) d\tau, \qquad (2)$$

$$\star(t) = v_0 \left[ \frac{M(t)}{D} + \int_{-\infty}^{t} \frac{M(z)}{3vD} R(t, z) dz, \right]$$
 (3)

где  $\epsilon_0(t)$  — относительное удлинение нейтрального слоя рассматриваемой плиты;  $\mathbf{x}(t)$  — кривизна плиты в деформированном состоянии;  $\mathbf{B} = \frac{1}{1+\mathbf{v}}$ ;  $\mathbf{r} = \frac{2(1-\mathbf{p}^2)\,E_1F_1}{EF}$ ;  $E_1$  и  $F_1$  — модуль упругости и плонадь поперечного сечения слоев арматуры;  $F_2$  — илошадь поперечного сечения бетона;  $D = \frac{2EH}{3(1-\mathbf{p}^2)}$  — цилиндрическая жесткость;  $\mathbf{p} = \frac{1}{1+3\mathbf{v}}$ ;  $E_1(t,t)$  — резольвента ядра  $\epsilon K(t,t)$ , имеющая вил [6]:

$$R_1(t, \tau) = \tau_n(\tau) - \tau - \theta(\tau) \int_{-\tau}^{t} \left\{ \exp\left[-\int \gamma_n(z) dz \right] \right\} dt, \tag{4}$$

$$\eta_1(z) = \gamma \left[1 + \lambda_1 E_{\tau}(z)\right]; \qquad \Theta(z) = \eta_1^2(z) + \gamma \eta_1(z); \qquad \lambda_1 = \frac{3\nu}{1+\nu}$$

Резольвентв  $R(t, \tau)$  строится аналогично, заменой на  $\frac{3}{1+3}$ 

2. Сумма работ вариации внешних и внутренних сил на действительных перемещениях равна нулю в момент времени t. Тогда

$$\int_{0}^{t} \left[ \mathbf{x}(t) \, \delta M(t) + \varepsilon_{0}(t)' \, N(t) \right] dx = \delta A(t) = 0, \tag{5}$$

где «A(t) вариация работы внешних сил:

$$\delta A(t) = \sum_{i=1}^{n} w_i(t) \, \delta P(t), \tag{6}$$

а  $\mathbf{z}_i(t)$  и  $P_i(t)$  — соответственно, обобщенные перемещение и сила. Подставив (2) и (3) в (5), получим

$$+ \int_{0}^{t} \left[ \frac{(1 - \mu^{2}) N^{2}(\tau)}{2\varepsilon EF} - S(t) N(t) + \right. \\ + \int_{0}^{t} \left[ \frac{(1 - \mu^{2}) N(\tau)}{vEF} N(t) + S(\tau) N(t) \left| R_{1} d\tau + \mu_{0} \left| \frac{M^{2}(t)}{2D} + \right. \right. \\ + \int_{0}^{t} \frac{M(\tau)}{3vD} R(t, \tau) d\tau \left| - A(t) \right| dx = 0.$$
 (7)

Выражение, заключенное в фисурные скобки, есть дополнительная экергия для железобетонной симметрично армированной балочной плиты, испытывающей изгиб с осевым растяжением при учете свойств ползучести и усадки бетона. Ее нервая вариация равиа кулю, а вторая существенно положительна, т. с. дополнительная экергия рассматриваемой плиты имеет минимальное значение

$$\Im\left(t\right)=\min.\tag{8}$$

Уравнение (8) выражает принции Кастильяно в теории ползучести для исследуемого случая.

Пусть из иножества  $\{P(t)\}$  сосредоточенных сил одна  $P_k(t)$  получает бесконечно малое приращение  $\delta P_k(t)$  и балочная илита неподвижна относительно опор. Для определения обобщенного перемещения получим формулу

$$w(x, t) = \frac{\partial \tilde{\theta}(t)}{\partial P_{\mu}(t)}.$$
 (9)

выражающую теорему Кастильяно для железобетонной балочной плиты при учете усадки и ползучести бетона.

Для расчета n раз статически неопределимой системы можно составить n интегральных уравнений типа Вольтерра для определения реакций избыточных связей. Представив выражение дополнительной энергии n раз статически неопределимой системы в функции внешних свя, усадки бетона и реакций  $X_1(t)$ ,  $X_2(t)$ , ...,  $X_n(t)$  избыточных связей, на основании формулы (9) получим систему интегральных уравнений

$$\frac{\partial \mathcal{G}(t)}{\partial X_t(t)} = 0 \, (-\beta_0 \, X_t(t)), \qquad i = 1, \, 2, \dots, \, n. \tag{10}$$

Нуль в правой части имеем, когда опоры системы неподатливы.

В случае шариирно-неподвижного закрепления концов однопролетной конструкции от действия равномерно распределенной и перемению во премени нагрузки интенсивностью q(t)H/M в се поперечимх возникнут изгибающие моменты и пормальные силы

$$M(t) = \frac{q(t) t}{2} x - \frac{q(t) x^2}{2}, \qquad N(t) = -H(t).$$

Так как  $\partial M(t)/\partial H(t)=0$ , для определения нормальной силы согласно (10) имеем

$$\int \left\{ \frac{(1-\mu^{2})N(t)}{EF} + S(t) + \int \left| \frac{(1-\mu^{2})N(\tau)}{EF} \right| + \left| S(\tau) \right| \left| R(t,\tau) d\tau \right| \frac{\partial N(t)}{\partial H(t)} dx = 0.$$
 (1)

Замечая, что  $\sigma N(t) \sigma H(t) = -1$ , и решив (11) относительно неизвестной продольной силы H(t), получим выражение:

$$H(t) = \frac{EF}{2(1-\alpha^2)} S(t) \left[ 1 - \frac{1+\lambda}{\omega(\alpha, t)} \int_{-\infty}^{t} \omega(\alpha, \tau) L(t, \tau) d\tau \right], \quad (12)$$

где  $L(t, \tau)$  — резольвента ядра —  $L^*R(t, \tau)$  ( $L^* = 1/v$ ):

$$L(t, \tau) = \eta_1^*(\tau) = \eta_1(\tau) - \Theta^*(\tau) \int \exp\left[-\int_0^t (z) dz\right] dz$$

$$\eta_1^*(\tau) = (h^{\frac{\pi}{2}} + 1) \eta_1(\tau) - i \qquad \Theta_1^*(\tau) = i^* \eta_1^*(\tau) \eta_1(\tau) + h^* \eta_1^* + i \eta_1(\tau);$$

$$\omega(\alpha, z) = 1 - \exp\left[-\alpha (t - z)\right],$$

Анализ (12) позволяет сделать вывод, что при симметричном армировании бетона возникают растягивающие напряжения от усадкв, которые затухают во времени вследствие ползучести бетона.

$$= \frac{1}{EF} \left[ \frac{(1 - p^{t}) N(t)}{EF} + S(t) + \frac{1}{EF} \right] + \left[ \frac{(1 - p^{t}) N(t)}{EF} + S(t) + \frac{\sigma N(t)}{\sigma P^{s}(t)} dx + v_{0} \right] \left[ \frac{M(t)}{II} + \frac{M(t)}{3MI} R(t, \tau) d\tau \right] \frac{\sigma M(t)}{\sigma P^{s}(t)} dx.$$

$$(14)$$

При вахождении угла поворота сечения поступны аналогично, введи вместо сосредоточенной силы  $P^*(t)$  момент  $M^*(t)$ .

Для рассматриваемой задачи при q(t) = q значение угла поворота торнового сечения x = 0. Тогда получим:

$$\tau_A^*(t) = \mu_0 \frac{q/l^2}{24ll} \left[ 1 - \frac{1}{3\nu} \int R(t, z) dz \right]$$
 (15)

Напряжения в верхней и нижней арматуре определятся по формулам:

$$\frac{\mathbf{x}_{s}(t)}{\mathbf{x}_{s}(t)} = E_{s}\left[\mathbf{x}_{s}(t) \pm \mathbf{x}(t)h\right] = E_{s}\left\{\beta\left[\frac{(1-\mu^{2})N(t)}{E\hat{r}} - S(t)\right] + \int \left[\frac{(1-\mu^{2})N(t)}{\nu EF} + S(\tau)\right]R(t,\tau)d\tau = \mu_{s}\left[\frac{M(t)}{D} + \int \frac{M(\tau)}{3\nu D}R(t,\tau)d\tau\right]h\right\},$$
(16)

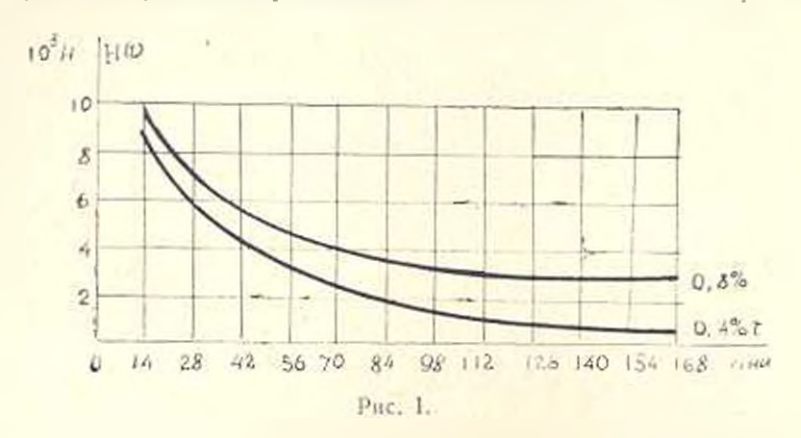
в напряжения в верхних и нижних волокнах бетона

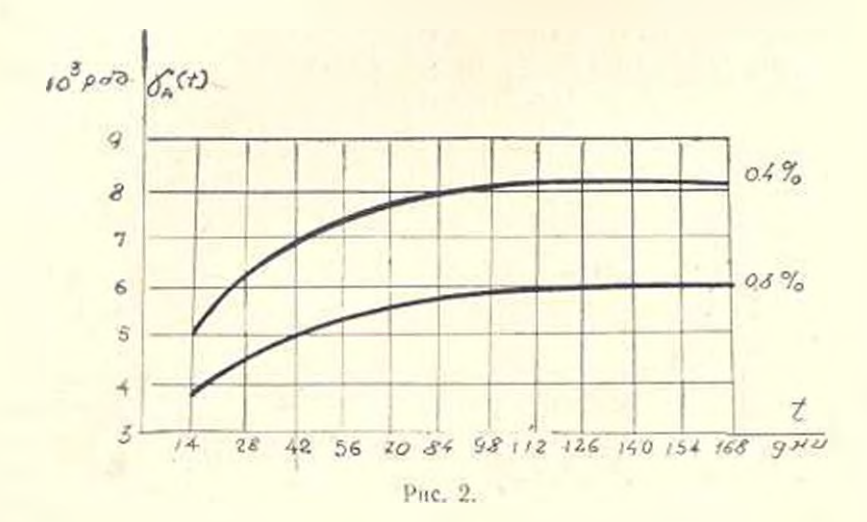
$$\frac{\sigma_{\pi}(t)}{\sigma_{\pi}(t)} = \sigma_{0}(t) + \sigma_{\pi}(t) = \frac{N(t)}{F} - nE \cdot 2\sigma_{0}(t) = \left\{-3\tau E h \kappa(x, t) + \frac{M(t)}{\sigma}\right\}.$$
(17)

Заесь (t) и (t) соответственно, полная относительная деформация и напряжение в бетоне на уровне нейтрального слоя плиты.

Для иллюстрации приведем числовой пример: q=5000~H/м; l=3 м;  $E_1=2\cdot10^9~M\Pi a$ ;  $E=2\cdot10^9~M\Pi a$ ; h=0.2 м;  $\tau=0.026;$   $C_0=9\cdot10^{-9}~M\Pi a^{-1}$ ;  $\alpha=0.011;$   $S_0=2\cdot10^{-1};$  два значения процента армирования: 1)  $\alpha_1=0.40/9;$  2)  $\alpha_2=0.80/9.$ 

Результаты расчета представлены в виде зависимостей рис. 1-4.





Нормальная сила (рис. 1) при проявлении усадки и ползучести бетона растет, стабилизируясь к 100—120 дням. Увеличение армирования увеличивает нормальную силу на 20%. Зависимость на рис. 2 показывает увеличение угла поворота торцового сечения, при этом конечное значение превышает начальное на 40%. Для большего процента армирования эффект изгиба меньше на 35—40%. Перераспределение напряжений между арматурой и бетоном в сечениях и их изменение во времени можно проследить по графикам на рис. 3—4.

Полученные зависимости поэволяют дать анализ напряженно-деформированного состояния плиты, испытывающей вынужденные деформации в условиях ползучести материала. Они могут быть использованы при расчете стержиевых железобетонных систем на ползучесть.



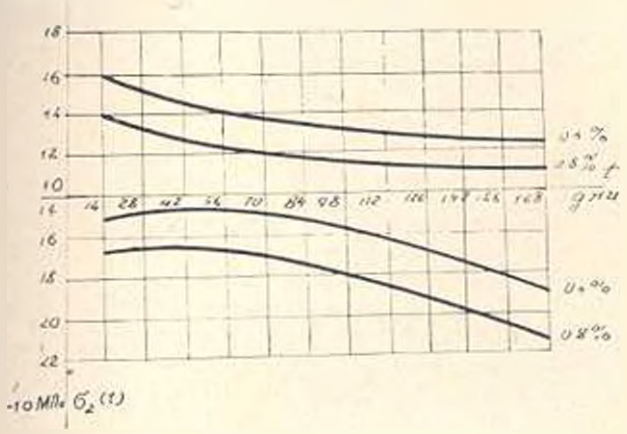
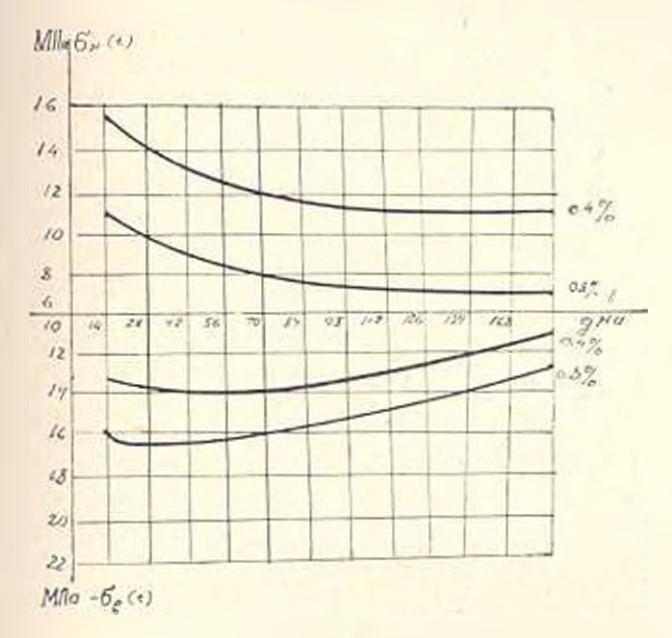


Рис. 3,



Pac. -L

Красподарский волители. институт

Поступнаю 30, VI. 1980

լ, Մ, ԳԱՅՏՈՎԱ, հ. Ն. ՎԵՐԵՍԻՊԿԻՆ

ՍՈՂՔԻ ՏԵՍՈՒԹՅԱՆ ՄԵ ՎԱՐԵԱՑԵՐԵ ԽՆԳՐԻ ՄԱՍԻՆ ԵՐԿԱԹՔԵՏՈՆԻ ՀԵԾԱՆԱՅԵՆ ՍԱԼԻ ԾՌՄԱՆ ՀԱՇՎԱՐԿԻ ԴԵՊՔՈՒՄ ՔԵՏՈՆԻ ՆՍՏՎԱԾՔԵ ՀԱՇՎԱՌՄԱՄԲ

Urdindinid

-ընկելով ծերացման ժառանգականության տեսությունից, առաձգա-սող-Հային Տեծանային սպի ծուման Տամար ոտացված է վարիացիոն Հավասարում՝ Հաշվի առևելով բետոնի նստվածքը։ Տրված է նրա կիրառումը սիժետրիկ ամրանավորված սալերի Հաշվարկի դեպքում։ Բերված է Հաշվարկային օրինակ, որում ցույց է արված բետոնի նստվածքի ու սողբի ազդեցու-Սյունը սալի ճիդերի և դեֆորմացիաների վրա.

#### **ЛИТЕРАТУРА**

- I. Арутюнян И. Х. Некоторые вопросы теории полаучести. М.—Л., Гостехнадат, 1952
- 2. Маслов Г. Н. Гермическое изпряжение состояние бетонных массивов при учете получести бетона, «Известия ВНППГ», т 28, 1940.
- 3. Задоян М. 1 Об одном париационном уравнении нелинейцов теории полаучести. ДАН АрмССР, т. 25. № 5, 1958
- 4 Задоян М. 1 Применение наризационных методов теории ползучести при расчета железобетонных элементов. Известия АН АрмССР (серия Т. Н.)», т XXVIII, № 3, 1975
- Задоян М. А. Об одной вариационной задаче о прижатии слоя к основанию при учете реологических свойсти материалов. «Павестия АП АрмССР (серия Т П.)», т. XXX, № 5, 1977.
- Гийтова Л. М. Обобщение в применение формулы Кастильяно к расчету на ползучесть по стадии 1 железобетопных билок. «Известия пузов, Строительство и архитектура», 1973, № 3.

ЭЛЕКТРОТЕХНИКА

# К. А. ГАМБУРЯН, С. Е. МИНАСЯН

# АШІРОКСИМАЦИЯ ХАРАКТЕРИСТИКИ АСННХРОННОГО МОМЕНТА СИНХРОННОГО ДВИГАТЕЛЯ

При исследовании длительных электромеханических проиессов синхронного двигателя (пуск, самозапуск и т. д.) существенное значение имеет правильное воспроизведение среднего асинхронного момента синхронного двигателя (СД). Последний обычно дается в виде завожих характеристик, а в справочниках имеется значение кратности греднего асинхронного момента относительно номинального при следующих значениях скольжения:  $s=1; s=s_{\rm NP}$  и  $s=s_{\rm ex}$ .

В [1] для воспроизведения асинхронного момента от скольжения учитывают эффект вытеснения токов я эквивалентных роторных контурах путем решения системы уравнений СД, заменив знак дифференцирования  $p=j\omega_c s$ . При этом получается система из пяти линейных уравнений с комплексными коэффициентами. Поскольку невозможно получить информацию о параметрах эквивалентных роторных контуров, то путем изменения декрементон затухания контуров характеристика асинхронного момента  $M_{ac}$  подгоняется под заданные пусковой и входной моменты  $M_{ac} = M_n$  при s = 1 и  $M_{ac} = M_{nx}$  при  $s_{nx} = 0.05$ . Этим способом не всегда удобно пользонаться, т. к. расчеты получаются громоздкими. Представляет интерес получение аналитического выражения среднего аспихронного момента СД по заданным вышеуказанным характеристикам или нараметрам. При этом используется метод аналитической аппроксимации нелинейной функции  $M_{ac} = f(s)$ , как это предлагается на примере асинхронного двигателя (АД) в [2], где асинхронный момент представляется как разность двух экспонентов в следующем виде:

$$M_{ac} = AM_{\kappa} \left( e^{-\frac{a}{\kappa}} - e^{-\frac{\hbar a}{\kappa}} \right), \tag{1}$$

где  $M_*$  — максима иное значение момента;  $S_*$  — критическое скольжение;  $a_*$   $A_*$  3 — постоянные коэффициенты (для данного типа  $A\Pi$ ).

Характеристика среднего асинхронного момента СД отличается от аналогичной характеристики АД тем, что она обусловлена асимметричностью ротора и наличием обмотки возбуждения. Из-за асимметрии ротора, при его асинхронном вращении возникает электромагнитный момент, обусловленный обратным полем ротора синхронной машины. При |s| > 0.5 этот момент является ускоряющим, а при |s| < 0.5 тормозящим.

Таким образом при скольжениях, несколько меньших 0,5, в кривой асинхронного момента появляется небольшой провал. При обычных значениях активного сопротивления статорной цепи этот провал настолько мал, что им можно пренебречь [3, 4].

Наличие возбуждения приводит к появлению дополнительного момента  $M_{\rm M,K}$  [3]. При необходимости учета влияния этого момента в [3] приводится формула, которую совместно с выражением среднего асинхронного момента (1) можно использовать в расчетах асинхронных режимов исследуемой электрической системы. Влияние этого момента приводит к некоторой асамметрии и кривой среднего асинхронного момента при отрицательных и положительных скольжениях. Но из-за своей малости этой асимметрией можно препебречь,

Известно, что при электромеханических переходных процессах в энергосистеме скольжение СД, а также средний асинхронный момент могут принимать как положительные, так и отрицательные значения. Следонательно, и формуле (1) необходимо брать абсолютное значение скольжения s, а знак среднего асинхронного момента — в соответствии со знаком скольжения по формуле:

$$M_{\kappa} = \operatorname{sign}(s) A M_{\kappa} \left( e^{-\frac{s}{\alpha_{\kappa}} \operatorname{log}} - e^{-\frac{s}{\alpha_{\kappa}} \operatorname{log}} \right). \tag{1'}$$

Для СД, при определении численных значений коэффициентов a. A и  $\beta$  необходимо воспользоваться заданными значениями средних асинхронных моментов при соответствующих значениях скольжения. В качестве последних принимаются пусковой  $M_{\rm n}$ , входной  $M_{\rm ex}$  и максимальный  $M_{\rm K}$  моменты.

Учитыная, что при  $s=s=M_{\rm H}$ , из (1) получается выражение для определения коэффициентов A и a в зависимости от 3 [2]:

$$a = \frac{\ln 3}{3 - 1}; \tag{2}$$

$$A = \frac{1}{e^{-\alpha} - e^{-\lambda a}}.$$
 (3)

Выражение (2) получается путем приравнивания нулю первой производной (1) по скольжению. В [2] предложен способ для определения коэффициента β, который основан на совместном решении (1) и известной формуле вращающего момента АД

$$M_{ss} = \frac{2M_s \left(1 + \epsilon\right)}{\frac{s}{s} + \frac{s_s}{s} + 2\epsilon} \tag{4}$$

при следующих граничных условиях: 1) s=1 и 2)  $s=s_{\text{ном}}$ 

При воспроизведении среднего асинхронного момента СД, а иногда и вращающего момента АД по формуле (4), по заданным каталожным двиным не всегда можно получить точность во всех диапазонах изменения скольжения. Это сиязано с тем, что формула (4) записана для идеализированной асинхронной машины, у которой приведенные к статору активное  $R_{\perp}$  и индуктивное сопротивления рассеяния ротора  $X_{\perp}'$  постоянны. Однако, последние, как это показано в [5], нелинейны и записят от скольжения. Поскольку приясленные в каталогах данные ивляются результатами экспериментов, то естественно, что в них учитываются влияния нелинейности, имеющие место в синхронных и асиндронных манииях, в режимах от пуска до пормального хода.

Учитывая вышесказанное, для определения значения коэффициента в деделовательно и а. Л. приняты следующие граничные условия

1) 
$$M_{ac} = M_{b}$$
 upu  $s = s_{ac}$ 

2) 
$$M_{ac} = M_a$$
 upu  $s = 1$ ;

3) 
$$M_{ac} = M_{ax}$$
 upu  $s = s_{ax}$ .

Коэффициенты a и A определены из (1) с учетом первого условия. Учитывая условия 2 и 3 в формуле (1), получим записимость, из которой можно определить значения  $\beta$  при заданных M M . s и  $s_{ux}$ :

$$\frac{M_{\rm n}}{M_{\rm sc}} = \frac{e^{-\frac{\alpha}{s_{\rm K}}} - e^{-\frac{\beta \cdot \alpha}{s_{\rm K}}}}{e^{-\frac{\alpha \cdot s_{\rm nx}}{s_{\rm K}}} - e^{-\frac{\beta \alpha \cdot s_{\rm nx}}{s_{\rm K}}}}$$
(5)

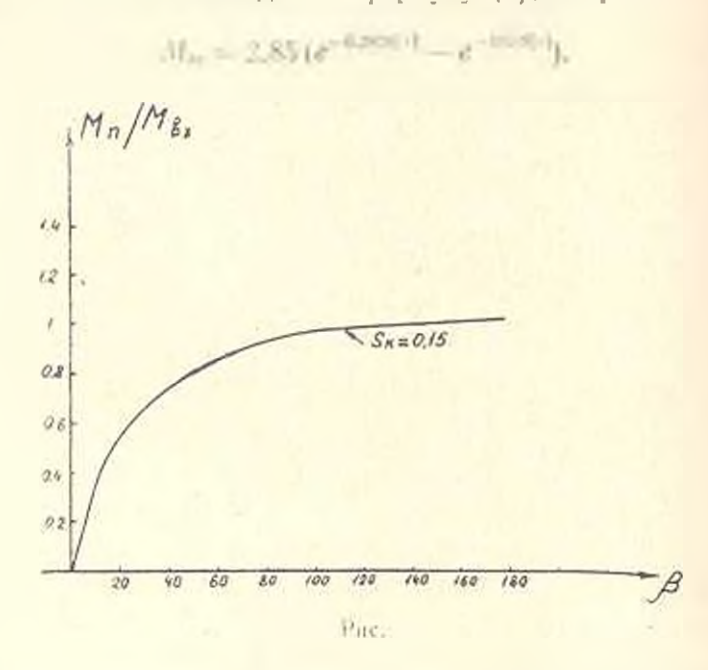
На-рисунке в качестве примера приведена зависимость отношения пускового момента к входному от коэффициента в, полученная с помощью ЦВМ. Как видно из рисунка, функция / (в) имеет монотонно возрастающий характер.

Определение коэффициента можно реализовать с использовалием ЦВМ по следующему способу. Задавая ряд значеняй  $\beta^{(r)}$  (пачиная с пулевого приближения  $\beta^{(r)} = 21$ , по формуле (2) вычисляется функция  $f^{(r)}$  и сравнивается с заданным отношением пускового к входному. Если  $M_n/M_m = f(\beta^{(r)}) > 0$ , то для  $\beta$  задается новое значение  $\beta^{(r+1)} = \beta^{(r)} + \frac{\Delta}{n}$  гле  $\beta$  и n заранее заданные положительные числа. Если эта разность меньше нуля, то начиная с предыдущего шага увеличивают значение n таким образом, чтобы  $M_n/M_m = f(\beta^{(r)}) < m$ , где m — величиня допустимой погрешности.

Для определения степени годности воспроизведения среднего ясинпроиного момента в виде (1), расчетная кривая сравнивается с эаволской. В качестве примера рассмогрена заполская характеристика синприного двигателя типа СТД-5000-2РУ4, которая имеет следующие значения критического скольжения, кратности входного, пускового и притического моментов относительно воминального:

$$s_x = 0.23$$
;  $M_{nx} = 1.64$ ;  $M_n = 2.07$ ;  $M_n = 2.67$ .

Коэффициенты a и A в формуле (1) определены при  $\Delta\beta=10n$ , n=1 (грубое) и n=10 (точное). При этом получены следующе вначения ко эффициситов: A=1,088; a=0,065;  $\beta=64$ . Подставляя значение последних в формулу (1), получим:



Аля сравненны в габлице приведены результаты расчетов синхронного момента по формуле (6) и заводского испытания для ряда шачени скольжения. Как зидно на габлицы, полученная по предлагаемой формуле характеристика среднего асинхронного момента СД с достаточной для практ пческих расчетов точностью совпадает с ее заволской практуристикой

	7,10.4										10.11194
Afac	0.05	0,1	0.15	п. т	0,4	0,5	0,6	0,7	0.8	0,9	1,0
завод. расч.			2,64 2,63								

#### Выводы

- 1. При определении среднего асинхронного момента СД необходимо учитывать записимость параметров  $R_{\rm crit}^{\rm crit}(X_{\rm crit}^{\rm crit})$  ротора от скольжения.
- 2. Предлагаемый способ представления выражения среднего асинхронного момы га достаточно прост и обеспечивает высокую точность.

АрмИППЭ

Поступило 25.1Х 1979

### ՍԻՆԵՐՈՆ ՇԱՐԺԻՉԻ ԱՍԻՆԵՐՈՆ ՄՈՄԵՆՏԻ ԲՆՈՒԹԱԳՐԻ ՄՈՏԱՐԿՈՒՄԸ

# llufindined

Քննարկվում է սինխրոն շարժիչի միջին ասինխրոն մոմենտի վերարապգրումը վերլուծական մոտարկման միջոցով, որտեղ միջին ասինխրոն ժոմենտր ներկայացվում է երկու էրսպոնենտների տարբերության տեսքով։

Միջին ասինիսրոն մոմենաի արտահայտության մեջ մանող հաստատուն գործակիցների արժերները որոշվում են M<sub>1c</sub> = f(s) բնութագրի սահմանային պայմաններից։

Առաջարկված բանաձևի հիման վրա ստացված սինխրոն շարժիչի միջին ոսինխրոն մոմենաի արտահայտությունը համեմատվում է դործարանային բնութագրի հետ։

#### JHTEPATYPA

- Черновец А. К., Шаргин Ю. М. Переходине процессы в системах электроснабжения собственных нужд станции при наличия синхронных электродингателей. Тр. ЛПИ, № 357, Л., изд. ЛПИ, 1977.
- Адома Г. Т. Аппрокенмация механической характеристики асинхропного электродвигателя экспоненциальной функцией. «Известия АН АзССР», № 3, 1951.
- Конкордия, Чарда. Синхронные машины. Переходные и установившиеся процессы. М.—Л., Гоезперсоиздат, 1959.
- Важнов А. И. Основы теории переходных процессов синхронной машины. М.—Л., Госмерговидат, 1980.
- 6 Сыромятников И. А. Режимы работы асинхронных электродвигателей. М., ГЭН, 1955.

#### ВЫЧИСЛИТЕЛЬНАЯ ТЕХНИКА

#### С. Б. ОВАКИМЯН

# ПРАВИЛА МАКСИМАЛЬНОГО ВЫРАВНИВАНИЯ В ЗАЛАЧАХ РАСПРЕДЕЛЕНИЯ РЕСУРСОВ

1. Постановка задачи. Рассмотрим комплекс из п операций, выполняемых ресурсами одного вида в количестие N(t) в момент t. Примем, что N(t) кусочно-постоянная функции с разрывами в точках  $T_1, T_2, ..., T_p$ . Обозначим  $N_s$  значение N(t) и интерпале  $(T_{s-1}, T_s)$ ,  $\Delta S = T_S - T_{S-1}, S = 1, 2, ..., P, (T_0 = 0).$ 

Определим максимальный объем работ, который можно выполнить за заданное число интервалов  $T_a$  (1  $\leqslant q = P$ ). Рассмотрим случай линейных зависимостей скоростей операций от количества ресурсов:

$$h_i\left(v_i\right) = egin{array}{ll} v_i, & ext{если} & 0 \leqslant v_i \leqslant b_i\,, \ \hline b_i\,, & ext{если} & v_i > b_i\,, \end{array}$$

где  $b_i$  — максимально возможное количество ресурсов, которое можно выделить на выполнение і операций.

Введем переменные 🚛 – объем г-ой операции, выполняемой в S-ом интервале. Для выполнения этого объема работ необходимы ресурсы в колнчестве = ———

Общее количество ресурсов, требуемое в S-ом интервале для выполнения работ и объемах x ,  $t=1,\,2,\,...,\,n\}$ , ранно  $\sum_{i=1}^{n}$  и не должно превышать N., Целевая функция имеет вид:

$$\sum_{i=1}^{n}\sum_{k=1}^{n}-\max \tag{1.1}$$

при ограничениях

$$\sum x_{i} \leqslant w_{i}, \quad i = 1, 2, ..., n,$$
 (1.2)

$$\sum x_{ij} \leqslant N_1 \Delta_{ij}, \qquad S = 1, 2, ..., q,$$
 (1.3)

$$0 \le x_1 \le b_1 \Delta_{S_1}$$
  $i = 1, 2, ..., n, S = 1, 2, ..., q.$  (14)

2. Потоковая интерпретация и описание алгоритма. Определии транспортную сеть со входом  $x_0$ , выходом Z, n вершинами  $x_1$  ( $i=1,2,\ldots,n$ ) и q вершинами  $y_s$  ( $S=1,2,\ldots,q$ ). Вершину  $x_0$  соединим с каждой вершиной  $x_i$  дугой (0,t) пропускной способности t=1, а  $x_i-c$  каждой вершиной  $y_s$  дугой (t, S) пропускной способности  $c_{tS}=b_t$ . Наконец, каждую вершину  $y_s$  соединим с выходом Z с дугой (S, S) пропускной способности  $C_{SZ}=N_S \cdot \Delta_S$ .

Определим поток  $\{x_{0i}, x_{IS}, x_{SZ}\}$  максимальной неличины в полученной транспортной сети. Эта задача эквивалентна (1.1)—(1.4). При этом  $x_{0i} = \sum_{S=1}^{\infty} x_{ij}$  райно объему выполненной части i-ой операции, а  $x_{1i} = \sum_{S=1}^{\infty} x_{ij}$  объему работ, выполненных в S-ом интервале.

Для решения задачи о максимальном потоке существует алгоритм Форда—Фалкерсона [1]. Однако специфика сети позволяет предложить существенно более эффективный алгоритм, в основе которого лежит процедура последовательного формирования потоков по дугам. В основе процедуры лежит правило максимального выраннивания остаточных уровней ресурсов (правило МВ)

$$M_{t,S} = N_S - \frac{1}{\Delta_S} \sum_{i=1}^{t-1} x_{jS}^0$$
 (2.1)

Потоки  $x_{1S}^n$ , полученные по этому правилу, должны удовлетворять следующему условию: если для каких-либо двух интервалов S и l внеет место  $M_{1S}$  то имеет место либо  $x_{1S}$ , либо  $x_{2I}=0$   $M_{2S}$  этого условия следует простой алгоритм определения потоков  $x_{1S}^n$  по правилу MB. Зададимся некоторым значением уровия  $0 < \delta_I < \max M_{I-1,S}$ .

Определим 🚁 согласно выражению

$$x_{iS} = \begin{cases} 0 & \text{осли } M_{l-1, S} = \delta_{l}, \\ (M_{l-1, S} - \delta_{l}) \Delta_{S_{l}} & \text{если } M_{l-1, S} - b_{l} < \delta_{l} < M_{l-1, S}, \\ b_{l} \cdot \Delta_{S_{l}} & \text{если } \delta_{l} < M_{l-1, S} - b_{l}. \end{cases}$$
(2.2)

Заметим, что при  $b_t = \max M_{t-1,S}$  из (2.2) следует, что все  $x_{tS} = 0$ , а при  $b_t = 0 - x_{tS} = \Delta_S \min (b_t, M_{t-1,S}) \le \pi$ , то  $x_{tS}^0 = \Delta_S \min (b_t, M_{t-1,S})$ . Если же  $\sum \Delta_S \min (b_t, M_{t-1,S}) > \pi$  то существует  $b_t > 0$  такое, что  $b_t = (b_t)$ , определяемая формулами (2.2), уловлетворяет условию

$$\sum_{s=i}^{q} x_{is} \left( \delta_i^0 \right) = w_i \tag{2.3}$$

в силу того, что  $x_{lS}(\delta_t)$  непрерывные возрастающие функции В этом случае:  $x_{lS}^2 = x_s(\epsilon)$ . Таким образом, задача определения потоков  $x_{lS}$  на t-ом шаге алгоритма сводится к определению одной переменной уровия  $\delta_t$  и заключается в решении линейных уравлений с одним переменным.

3. Применение правила МВ на примере. Рассмотрим комплекс из 4 операций, данные о которых приведены в таблице  $\left(\tau_{i}=\frac{w}{w}\right)$ :

1	1	2	3	4
57	3	2	4	5
$b_t$	6 18	5 10	16	2 10

Данные об уровнях ресурсов имсют вид:

S	1 2 2		4	
Δ <sub>3</sub>	2	3	2	3
$N_S$	5	7	01	δ
$c_S = b_S - N_S$	10	21	20	18

Сначала определим оценку снизу для продолжительности комплекса. Для этого определим сумму объема всех операций  $w_4 = \sum_{i=1}^{n} -54$ . За первые три интервала можно выполнить работы в объеме не болсе  $\sum_{i=1}^{n} N_5 \Delta_5 = 51$ . Выполнение остающегося объема 3 в четвертом интервале потребует не менее  $\frac{3}{1000} = \frac{1}{1000}$  поэтому оценка продолжительности комплекса:  $T_{\min} = 7\frac{1}{1000}$ . Проверим, возможно ли выполнение комплекса за это время, применяя правило МВ. На рис. 1 приведен график N(t).

I шаг. Рассматриваем первую операцию объема  $w_1=18$ . Из рис. 1 следует, что при уровне =7 только  $x_{13}=(N_3-c_1)\cdot \Delta_1=6>0$ , остальные  $x_{15}=0$ , а при =6 имеем  $x_{12}=3$ ,  $x_{13}=8$ , остальные  $x_{16}=0$ . При  $\delta_1=5$ , имеем  $x_{12}=(N_2-c_1)\cdot \Delta_2=6$ ,  $x_{13}=(N_3-\delta_1)\cdot \Delta_3=10$ ,  $x_{14}=(N_4-c_1)\Delta_4=0.5$ . Так как  $x_{12}+x_{13}-x_{14}=16.5<18$ , то  $\delta_1\leqslant 5$ . Пусть  $\delta_1\leqslant 5$ , тогда:

$$x_{11} = (N_1 - \delta_1) \Delta_1 = (5 - \delta_1) \Delta_2$$
:  
 $x_{12} = (N_2 - \delta_1) \Delta_2 = (7 - \delta_1) \Delta_3$ ;

$$x_{14} = (N_3 - \delta_1) \Delta_2 = (10 - \delta_1) \cdot 2;$$
  
 $x_{14} = (N_3 - \delta_1) \Delta_4' = (6 - \delta_1) \cdot \frac{1}{2} \cdot ...$ 

Складывая и приравнивая  $w_1=18$ , получаем  $\delta_1\approx 1.8$  и, следовательно:  $x_0=0.4;\; x_{12}=6.6;\; x_{13}=10.4;\; x_{14}=0.6.$ 

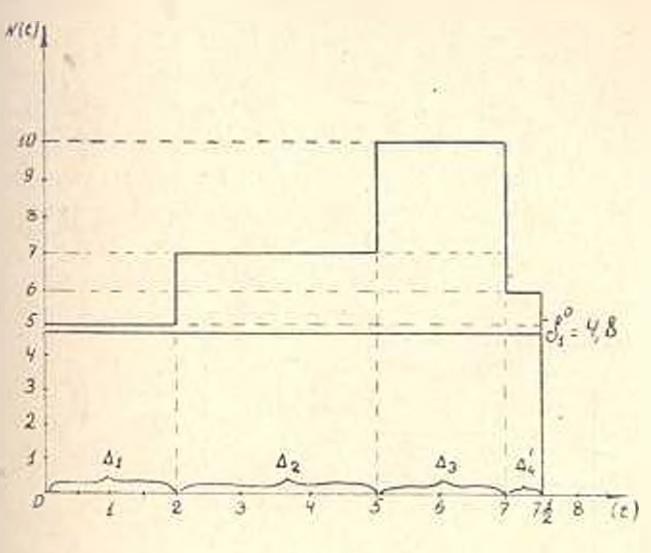


Рис. 1.

 $M_{13}=4.8$  для всех s, то для остальных операций получаем задачу оптимизации при постоянном уровне ресурсов. Ее решение, как показано в [2]:

$$x_{is} = \delta_S w_i \cdot \Delta_S;$$

Fae

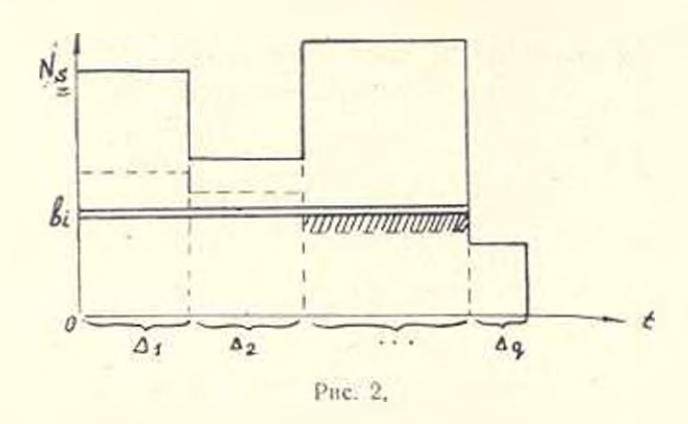
$$\delta_S = \frac{M_{1S}}{\sum_{i=3}^{4} w_i} = \frac{4.8}{36} = \frac{2}{15}$$
,  $i = 2, 3, 4;$   $S = 1, 2, 3, 4.$ 

Ответ решения удобно привести в виде таблицы значений:

1 5	1	2	3	4
1 2 3	$ \begin{array}{c} 0,4 \\ 2\frac{2}{3} \\ 4\frac{4}{15} \\ 2\frac{2}{3} \end{array} $	6,6	$   \begin{array}{c}     10.4 \\     2\frac{2}{3} \\     4\frac{4}{15} \\     2\frac{2}{3}   \end{array} $	0.6 $\frac{2}{3}$ $1\frac{1}{15}$ $\frac{2}{3}$

Обоснование алгоритми. Теорема. Алгоритм распределения ресурсов, основанный на правиле МВ, дает оптимальное решение задачи.

Доказательство. Рассмотрим график  $N_3$ , показанный нарис. 2 сплошной линией и график  $M_{i-1,-2}$ , показанный пунктиром. Оченидно, что поток на i-ом шаге алгоритма будет максимальным, если площадь, лежащая инже двойной линии и выше графика  $M_{i-1,-1}$ , будет минимальной (эта площадь заштрихована на рис. 2). Из этого следует, что на каждом из предыдущих шагов алгоритма необходимо, в первую очередь, использовать ресурсы, «лежащие выше» уровня  $b_i$ . Так как уровень  $b_i$  может быть любым, то следовательно, в первую очередь следует использовать ресурсы в интервалах с максимальными остаточными уровнями ресурсов, причем, это правило справедлияо для любого шага алгоритма.



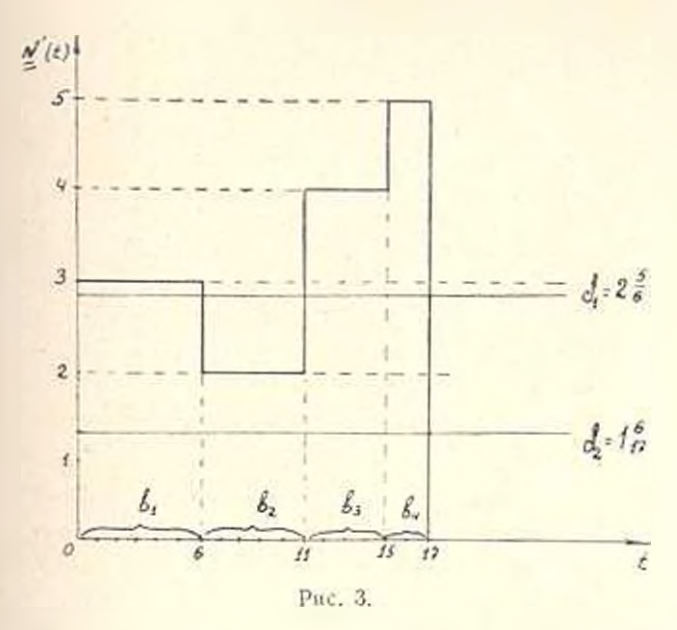
5. Сопряженная задача. Вернемся к нотоковой интерпретации (1.1)—(1.4). Если заменить  $N_i = \tau_i b_i$  в правой части неравенств (1.2), то можно заметить определенную симметрию постановки задачи. Лействительно, рассмотрим комплекс из q операций, объемы которых  $= N - \Delta$  а максимально допустимые уровни ресурсов  $b_S = \Delta_S$ , S = 1, 2, ..., q. Количество ресурсов N (t) также является кусочноностоянной функцией времени с интервалами постоянства  $\Delta_i = b$  и соответствующими уровнями  $N_i = \tau_i$ , i = 1, 2, ..., n.

Обозначим  $x_{i,j}$  объем S-ой операции, который выполняется в t-ом интервале. Тогда задача максимизации объема выполняемых работ сводится к задаче о максимизьном потоке вида (1.1)-(1.4), если обозначить переменные  $x_{i,j}$  как  $x_{i,j}$ . Поэтому оптимальное решение  $\{x_{i,j}^{\bullet}\}$  одной задачи будет определять и оптимальное решение  $\{x_{i,j}^{\bullet}\}$  другой задачи. В новой задаче ресурсы  $X_{i,j}$  играют роль минимальных продолжительностей соответствующих операций  $\tau_{i,j}$ 

 $=\frac{1}{2}=N_S$ , длительности интервалов  $\Delta_S$  — максимально допустимых

уровней ресурсов  $b_N$ , максимально допустимые уровни ресурсов — имительностей интервалов  $\Delta_I$ , а минимальные длительности операций — уровней ресурсов в соответствующих интервалах. Применим теверь правило MB для решения новой задачи и мы получим новый алгориту для решения исходной задачи.

Пример. Построим график N'(t). Поскольку  $N'_t = \tau_t$ , а  $\Delta'_t = b_t$ , то это график кусочно-постоянной функции, интервалы постоянства которой равны  $b_t$ , а значения функции в них равны  $\tau_t$  (очередность натервалон можно брать любую, поэтому мы возьмем естественную пчередность в порядке номеров операций  $A_t$ ). Этот график показан на рис. 3.



1 шаг. Берем операцию (сопряженной задачи) S=1 объема  $w_1=c_1=N_1\cdot \Delta_1=10$ . Пусть  $\delta_1=4$ , тогда только  $x_1'=(\cdot,-\delta_1)\cdot b_4=2>0$ , остальные  $x_{N1}'=0$ . Пусть 3. Писем  $x_{11}=10$ , =0,  $=(\cdot,-\delta_1)\cdot b_3=4$ ,  $=(\cdot,-\delta_1)\cdot b_4=4$ . Так как 4+4=8<10,  $=(\cdot,-\delta_1)\cdot b_4=4$ . Пусть  $=(\cdot,-\delta_1)\cdot b_4=4$ . Так как  $=(\cdot,-\delta_1)\cdot b_4=4$ . Пусть  $=(\cdot,-\delta_1)\cdot b_4=4$ . Так как  $=(\cdot,-\delta_1)\cdot b_4=4$ . Пусть  $=(\cdot,-\delta_1)\cdot b_4=4$ .

Определяем от из уравнения

$$6(3-\delta_1)+4(4-\delta_1)+2(5-\delta_1)=10, \quad \delta_1=2\frac{5}{6}$$

следовательно:

$$x_{11} = 1; \quad x_{12} = 0; \quad x_{13} = 4^{\frac{9}{2}}; \quad x_{14}^{\frac{1}{2}} = 4^{\frac{1}{4}}$$

H шаг. S=2,  $w=c_2=21$ . Очевидно, что  $c_2<2$ , т. к. при  $c_2=2$  вмесм:

$$x_{13} = 5;$$
  $x_{21} = 0;$   $x_{22} = 3\frac{1}{2};$   $x_{34} = 1\frac{2}{3};$   $\sum_{l=2}^{4} x_{2l} = 10 < 21.$ 

Пусть  $a_3 = 2$ , тогда

$$x_{21} = (\delta_1 - \delta_2) \cdot 6; \qquad x_{22} = (2 - \delta_2) \cdot 5;$$
$$x_{21} = \left(2\frac{5}{6} - \delta_3\right) \cdot 4; \qquad x_{34} = \left(2\frac{5}{6} - \delta_3\right) \cdot 2.$$

Определяем од из уравнения

$$\left(2\frac{5}{6}-\delta_{2}\right)\cdot 6+\left(2-\delta_{3}\right)\cdot 5+\left(2\frac{5}{6}-\delta_{2}\right)\cdot 4+\left(2\frac{5}{6}-\delta_{2}\right)\cdot 2=21,$$

 $\delta_{\mathfrak{g}}=1$  . следовательно:

$$x_{21} = 8\frac{15}{17}; \quad x_{22} = 3\frac{4}{17}; \quad x_{23} = 5\frac{47}{51}; \quad x_{34} = 2\frac{49}{51}$$

III шаг. Поскольку уровии ресурсов  $\mathfrak{d}_2$  одинаковы для всех i, то для остальных в решение находим сразу. Во-первых, общий объем работ сопряженной сети, который можно выполнить оставшимися ресурсами, равен  $\mathfrak{d}_3 \cdot 17 = 23$ . Следовательно, можно выполнить всю греты операцию ( $\mathfrak{w}_3 = \mathfrak{c}_4 = 20$ ) и четвертую операцию в объеме 3 единиц. С учетом этого имеем:

$$x'_{11} = 20\frac{6}{11}$$
;  $x_{32} = 20\frac{5}{11}$ ;  $x_{33} = 20\frac{4}{11}$ ;  $x_{34} = 20\frac{2}{17}$ ;  $x_{41} = 3\frac{5}{17}$ ;  $x_{42} = 3\frac{5}{17}$ ;  $x_{44} = 3\frac{7}{17}$ 

Окончательно получаем для исходной задачи минимальную продолжительность комплекса

$$T_{\min} = \sum_{S=1}^{2} b_S + \frac{y_4}{y_4} = \sum_{S=1}^{2} \Delta_S + \frac{y_4}{N_4} = 7\frac{1}{2}$$

где  $y' = \sum_{i=1}^n x_{ii} - \text{объем}$  выполненной части операции S в сопряженной сети.

Значения  $x_{15}^{0} = x_{51}^{0}$  приведены в таблице.

Решение отличается от полученного прямым правилом МВ, но также является оптимальным. Существует тесная связь между сопряженями правилом МВ и известным эвристическим правилом распределения ресурсов по степени критичности операции (правило СК) [3], которац в момент 1 записывается в виде:

$$\Delta_{L}(t) = \frac{w_{L} - x_{L}(t)}{b_{L}} \tag{5.1}$$

1/2	1	2	3	4
1 2 3 4	1 0 4 2 3 4 1 3	$ 8 \frac{15}{17} \\ 3 \frac{4}{17} \\ 5 \frac{47}{51} \\ 2 \frac{49}{51} $	$ 7 \frac{1}{17} \\ 5 \frac{15}{17} \\ 4 \frac{12}{17} \\ 2 \frac{6}{17} $	1 1 1 17 15 17 12 17 6 17

Теорем а. Распределение ресурсов, полученное на основе правиза СК, является оптимальным.

Доказательство. Достаточно показать, что правило СК эквивлентно сопряженному правилу МВ. Для этого рассмотрим s-ый шаг вторитма, основанного на сопряженном правиле МВ. На каждом таком шаге ресурсы А в первую очередь направляются на опералин i с максимальной величиной

$$M_{S-1,i}^{\cdot} = \frac{w_i - \sum_{i=1}^{S-1} x_{ii}}{b_i}$$
 (5.2)

Сравнивая (5.2) с (5.1) легко видеть, что  $M'_{s-1}$  есть не что иное, как степень критичности операции і в данный момент (в начале S-го интервала).

6. Заключение. Описанные алгоритмы позволяют решить задачу вынимязации времени выполнения комплекса операций. Для этого достаточно определить ближайший момент времени, для которого в оптимальном решении рассмотренной задачи все операции выполнены. Для этого удобно применять сопряженное правило МВ, г. е. правило СК.

РСКЕ ПЭА

Поступнао 7 111, 1980

#### Ս. Ռ. ՀՈՎԱԿԻՄՅԱՆ

### ԱՌԱՎԵԼԱԳՈՒՑՆ ՀԱՎԱՍԱՐԵՑՄԱՆ ԿԱՆՈՆԸ ՌԵՍՈՒՐՍՆԵՐԻ ԾԱՐՈՒՐԵՆԵՐՈՒՄ

Դիտարկվում է անկախ դործողուիլունների (աշխատանջների) րազմու-Բյան վրա ռեսուրսների բաշխման խնդիրներ, գործողությունների համակարդի ավարտման նվապագույն ժամանակահատվածի տեսակետից։ Գործողությունների կատարման արտգությունները գծային ֆունկցիա են ռեսուրսների քանակից, որը իր հերթին ընդհատվող Հաստատուն ֆունկցիա է ժամանակից։ Առաջարկվում է ռեսուրսների առավելագույն համահավասարալափ բաշխման կանոն և տրվում է նրա օպտիմալության ապացույցը։

#### ЛИГЕРАТУРА

- 1. Форд-Фалкерсон. Потоки в сетях, М., Наука», 1954.
- 2. Бурков В. И., Горгидзе И. А., Ловецкий С. Е. Прикладиые задачи теории графов. Тбижиси. «Мецикереба», 1974.
- В Бурков В. И., Ловецкий С. Е. Максимальный поток чере обобщенную гранспортную сеть «Автоматика и телемеханика», т. XXVI, № 12, 1964.

НАУЧНЫЕ ЗАМЕТКИ

#### С. С. КППАРИСОВ, А. П. ПЛИКЕВИЧ, Л. А. ГАСПАРЯН

# ВЛИЯНИЕ ДОБАВКИ КАРБИДА ТИТАНА НА ЭКСПЛУАТАЦИОН-НУЮ СТОПКОСТЬ СПЕЧЕННОГО ЭЛЕКТРОДНОГО МАТЕРИАЛА В УСЛОВИЯХ АРГОПО-ДУГОВОЙ СВАРКИ С АКТИВИРУЮЩИМ ФЛЮСОМ

Известно, что добавка карбидов пиркопия [1] и вольфрама [2] в состав катодных гетерогенных сплавов поэволиет повысить целый ряд кх физико-механических свойств. В настоящем исследовании илучено влияние добавка карбида титана — широко доступного и недорогого— на эксплуатационную стойкость спеченного электродного материала  $W+Y_2O_3$  в условиях аргоно-дуговой сварки с применением порошкового активирующего флюса, содержащего  $TiO_2$ ,  $SiO_2$  и W.

Исходные норошки  $W+V_*O_3$  готонались методом совместного осаждения соединовий вольфрама и иттрия, разработанным в МИСиС, который следует рассматривать как наиболее перспективный, т. к. обеспечивает смешение компонентов на атомном уровне, равномерное и товкодисперсное распределение активирующей присадки  $V_2O_3$  в вольфрамовой матрице и дополнительную очистку материала от некоторых примесей. Для получения порошков использовали вольфрамовую кислоту и азотнокислый иттрий, удовлетворяющие требованиям ГОСТ 2197-43 в ТУ6-09-3195-73. В качестве добавки взят порошок ТіС производства ВНПИТС, согласно ТУ 48-19-78-73.

Исследование выполнено с применением метода математического планирования эксперимента. В качестве основных факторов выбраны:

- содержание окиси иттрия в электролном материале, %;
  - количество добавки карбила гитана, %;
- время смешания исходных порошков при приготовлении шихты, час;
- время высокотемпературного спекания спрессованных заготовок, час.

Содержание окиси иттрия варьировалось для более полного описавия параметра оптимизации. Значение факторов на основном уровне, интервалы их варьирования и матрица планирования представлены а табл. Параметр оптимизации у — длина шва, который удалось проварить электродом до изменения формы его рабочего участка и проплавляющей способности дуги.

Факторы	Содержа- ине Y <sub>2</sub> O <sub>3</sub> ,	Солержа- ние ТІС, %	Время смешания исходных порошков, час	Время выдержки при высоко- температур- ном спека- тим, час	Параметр оптими- зация У— длина шва, м.ч
Основной уровень	4	4	18	1,3	
Интернал варыпрования	1	1	6	0,5	
Верхини уронень ( )	5	5	24	2,0	
Нижний уровень (-)	5	3	12	1.0	
Код Х	X <sub>1</sub>	X <sub>2</sub>	X <sub>3</sub>	$N_{4}$	Y
Опыт 1		-		_	290
. 2 +	+		_	_	350
. 3 +	-	_	+	_	310
. 4	+	_	_	+	345
5 -1	_	+	+	-	350
. 6 +	_	+		-	365
. 7 1	_	_	111	1	300
. 8 +	+		+	_	370
Опыт 9"	W + 3%	Y.O.			250
Опыт 10"	W + 5%				265
J	13 /0	1-3			

<sup>\*</sup> Дзя сравнения.

Приготовление смесей (W +  $Y_2O_3$ ) + TiC осуществлялось в шаровой мельние, футерованной твердосиланными пластинами ВК4, в среде спирта. Размольные тела — твердосплавные шары днаметром 6—8 мм. Скорость вращения барабана  $\sim 0.7~N_{\rm во}$ . Соотношение—шихта: шары = 1:2.5. Заготовки электродов днаметром 5 мм и длиной 78 мм прессовались в стальной прессформе на гидравлическом прессе при давлении 3  $\tau/c$  м². Спекание заготовок производилось согласно методике [1]. Структура спеченного электродного материала представлена на рис.

Электродные заготовки обрабатывались до 3 мм по днаметру с углом заточки 30° и испытывались при сварке листовой стали X19Н9Т толщиной 6 мм по режиму; сварочный ток — 160 А; напряжение — 12 В; скорость движения электрода — 10 м/час; длина дуги — 1мм с применением активирующего флюса; защитный газ — аргои

Результаты испытаний приведены в табл.

На основания полученных данных построено уравнение математической модели:

$$Y = 335 + 8.7X_1 + 23.7X_2 - 2.5X_3 + 10X_4.$$
 (1)

Величина доверительного интервала коэффициентов при уровне значимости  $\alpha=0.05$  составила  $\Delta b_i=\pm 7.4$ , и, следовательно, премя смешения  $X_i$ — незначимо. С учетом статистической значимости коэффициентов уравнение (1) принимает вид:

$$Y = 335 + 8.7X_1 + 28.7X_2 + 10X_4.$$
 (2)





Рис. Структура глеченного электродного материала a=W=5%  $Y_2O_3=500$ ;  $\sigma=W=5$ %  $Y_2O_3+5$ % TIC 2000.

Расчетное значение F-критерия (1.93) меньше табличного (225) и гипотеза об адекватности уравнения (2) не отвергается. Коэффициенты уравнения показывают, что выбранные нами факторы (значемые) оказывают существенное влияние на параметр оптимизации, и, в частности, введение 3—5% карбида титана X, в состав спеченного материала  $W+Y_2O_3$  весьма эффективно повышает его эксплуатационную стойкость при данных условиях сварки с активирующим флюсом. Положительное влияние карбида титана очевидно: имея низкую работу выхода электрона (2, 3  $\sigma$ 8), он улучшает эмиссионную способность катода на основе вольфрама.

Для уточнения границ области, описываемой уравнением (2), приготовлены и испытаны электроды следующего состава:

W + 
$$5^{\circ}/_{0}$$
 Y<sub>2</sub>O<sub>3</sub> =  $10^{\circ}/_{0}$  TiC; W +  $5^{\circ}/_{0}$  Y<sub>2</sub>O<sub>3</sub> +  $15^{\circ}/_{0}$  TiC; W +  $5^{\circ}/_{0}$  Y<sub>2</sub>O<sub>3</sub> +  $30^{\circ}/_{0}$  TiC.

Испытання показали, что стойкость этих электролов крайне низкая, через 2—3 сек после зажигания дуги их рабочий участок оплавился. Это можно объяснить низкой теплопроводностью электролного материала. В интервале температур 2000—3000° К теплопроводность карбида титана 44—48 Вт/м.град, окиси иттрия — 2 Вт/м.град, вольфрама 92—100 Вт/м.град. Введение добавок в вольфрамовую матрицу неизбежно снижает теплопроводность катодного материала и увеличивает тепловую напряженность электрода при работе. Пра использовании карбида

титана — добавки необходимо учитывать существования в систем W — TiC эвтектики с температурой плавления 2875° К.

Теплопроводность католного материала W + Y<sub>2</sub>O<sub>3</sub> + TiC c большим количеством добавки (15 - 35% в сумме) оказалась недостатов ной: рабочий конец электрода перегревается и оплавляется.

Для данных условий сварки при токе 160 A количество добымовнеденной в вольфрамовую основу, не должно превышать в сумме 10—12%. С увеличением плотности сварочного тока количество добыми необходимо уменьшить.

MHCuC

Поступило 25 XI. 177

#### ЛИТЕРАТУРА

- 1. Амосов В. А., Карелин Б. Н., Кибышкин В. В. Электродные материалы на эки тугоплавких металлов. М., «Металлургия», 1976, 223 с.
- 2. Сироткин Г. Д. Консп. лекц, по курсу «Химия и технология катодов электрокуумных приборов», Иваново, 1974. 345 с.

# е я ц и б ч и и и к е з и в ъ

		6.0
	правыценанья	
	Ս. Համրաբյան։ Ատամիակառյման, համակարգի ընդյուրայած դատակարգումը Ա. Mr-Ագաւև, Ա. Ալիյան։ Կարվածրի ազգեցության առանձնահատկությունները	3
	ումի վրա բնական - ու ազատ կարման ժամանակ Հ. Կորտ Բավերով բնոնատոր ավտոմորիյի կտող համակարդի հարվարկը	9
	ւ և արկության մեջ ծաման դեպրում	13
١.	1. Գետասյան, Գ. Ս. Ափոյան, Գ. վ. Մուսայերյան։ «Հղկանյութ-կապակցող հյուքե» կոմպոզիրիայի սեխանիկական ատկությունները՝ նաշվի առևելով նյութեի իրա	
	կան մակտակենութիլունը	18
	<u> ይኮъயኖԱԿԱՆ ՄիԽԱՆԻԿ</u> Ա	
	Մ. Դուտովա, հ. Ն. Պետևսիդիին։ Մոգրի տեսունյան մի վարիադիոն խնդրի մասին հրվարկրնառնե Հնմանային սայի մոման Հայվարկի դնայում բնառի նատվածրի	
	รัพรูปู่และในป <sub>ี</sub> ก	2.3
	1; 1, to 0; S P IL S to 4a Te b 4a Tk	
	2 Դամբության, Ս, և Մինսայան։ Մինկորոն ասինիաբրև ժոմննաի բնուքագրի ժոտարկումը	31
	ՀԱՇՎՈՂԱԿԱՆ ՏԵՒՆԻԿԱ	
0.	F. Հովակիմյան։ Առագելագում մամանավաստրեցման կառոնը ոճսուրսների բալիւսան ինդիրներում	36
	ዓ b s Ա G IL \r \ \b n \r \b r	
Н,	Ս. Կիպարիսով, Ա. Պ. Կանկերչ, Լ. Հ. Դասպարյան։ Տիտանի կարթիդի ազդեցությունը - Թրժված Էլնկարողույին հյունի չամագորժման կայունության միա արգոն արևը- հային հացերման պայմանենում ակտիվացնող Ֆյյուսի կիրառմամի	45

# СОДЕРЖАНИЕ

машпностроения
<ul> <li>Г. Амбарян. Расшировная классификация системы тубчатых запеллений.</li> <li>И. А. Тер-Дэпрьев, С. С. Есиян. Особсивости ваняния сечения среза на силу при несвободном резании природного камия.</li> <li>Г. Дж. Кочинян. Расчет несущей системы грумоного анхомобиля с жестким кулоном при изгабе в поперечной плоскости рамы.</li> <li>Г. Я. Петросян, Г. С. Аноян. Г. В. Мусослян. Механические своиства композиции вабралив связка» с учетом реальной пористости материала.</li> </ul>
СТРОИТЕЛЬНАЯ МЕХАНИКА
.7. М. Гайтова, Е. Н. Пересыпкин. Об одной зариационной надаче в теории поз- зучести при расчете на изгиб жележбетонной малочной алиты т учетом усадки бетона.
ЭЛЕКТРОТЕХНИКА
К. А. Гимбурян, С. Е. Минасян. Анпрокеямация характеристики асинхронного момента синхронного двигателя
вычислытельная техника
С. Б. Овакимян. Прявила максимального выравнивания и звдачах распределения ресурсов
научные заметки
С. С. Кипирисов, А. И. Панкенич, Л. А. Гаспарян. Влияние добажи карбила ти- тана на эксплуатационную стойкость спеченного электродного материала в условиях вргоно-дуговой сварки с активирующим флюсом.

